

Holographie numérique hétérodyne et thermoreflectance appliquées à des mesures thermiques haute résolution

Gilles Tessier – Institut Langevin, UMR 7587, ESPCI

Holographie numérique : Sarah Suck (doctorante), N. Warnasooriya (post doc)

Thermographie résolue en temps : Virginie Moreau (post doctorante)

D. Fournier – LPEM, UPRA005, ESPCI

F. Joud, M. Gross, LKB, ENS

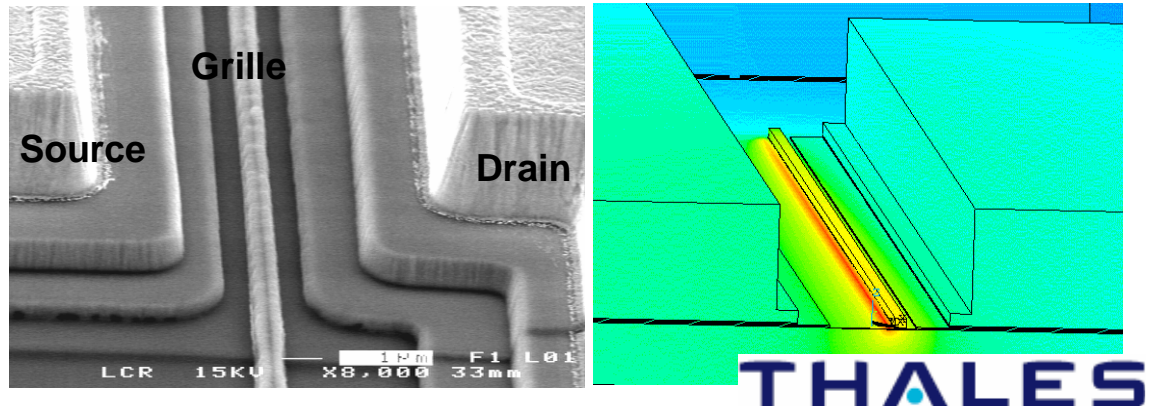
P. Bun, M. Coppey-Moisan, Inst. J. Monod

- 1- Thermoréflectance
résolue en temps
résolue en fréquence
- 2- Holographie numérique
imagerie de nanoparticules



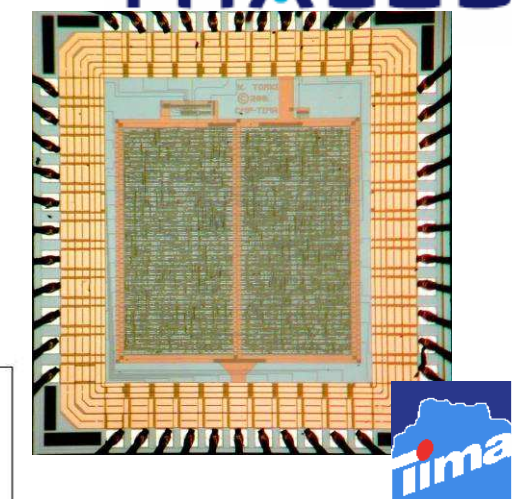
Quelques problème thermiques en électronique intégrée / optronique

- **Transistors de puissance** : échauffement dans la zone grille - drain



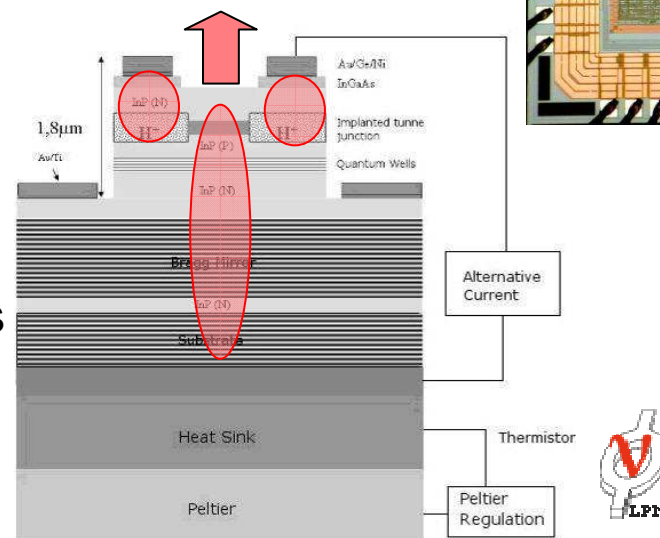
- **MOS** : Courant transitoire lors du basculement

→ augmente avec la fréquence

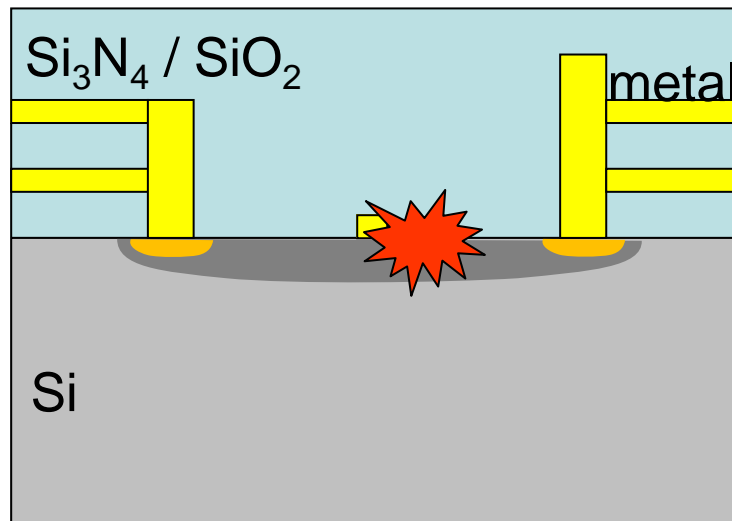


- **Diodes laser** :

- Effet Joule à l'injection
- Absorption du faisceau dans les couches



Détection de points chauds / imagerie de température Dans les circuits intégrés



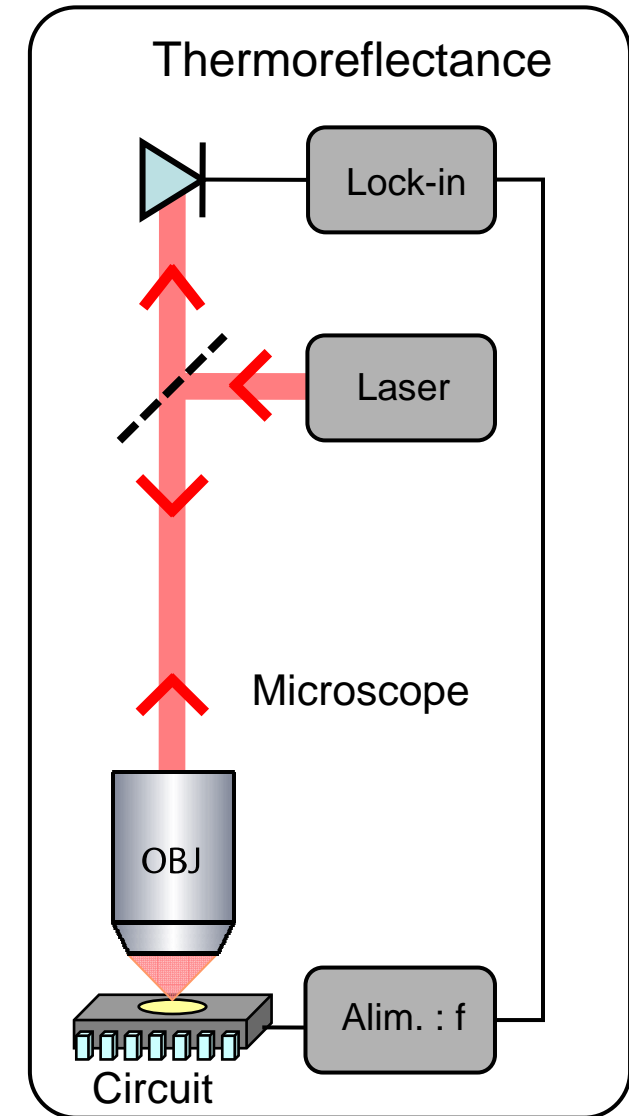
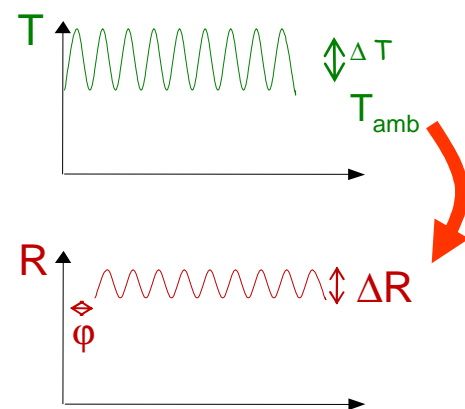
- temperatures élevées
- petites échelles
- Dispositifs 3D

Photoreflectance ou Thermoreflectance avec une sonde laser

Le coefficient de réflexion d'une surface dépend de sa température :

$$\Delta R = \frac{\partial R}{\partial T} \Delta T$$

10^{-3} à 10^{-5}

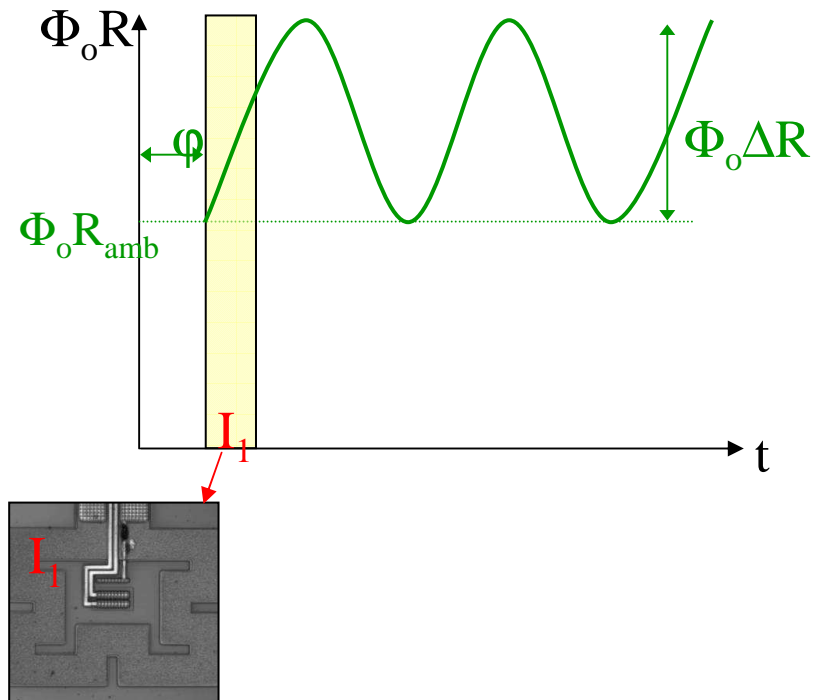
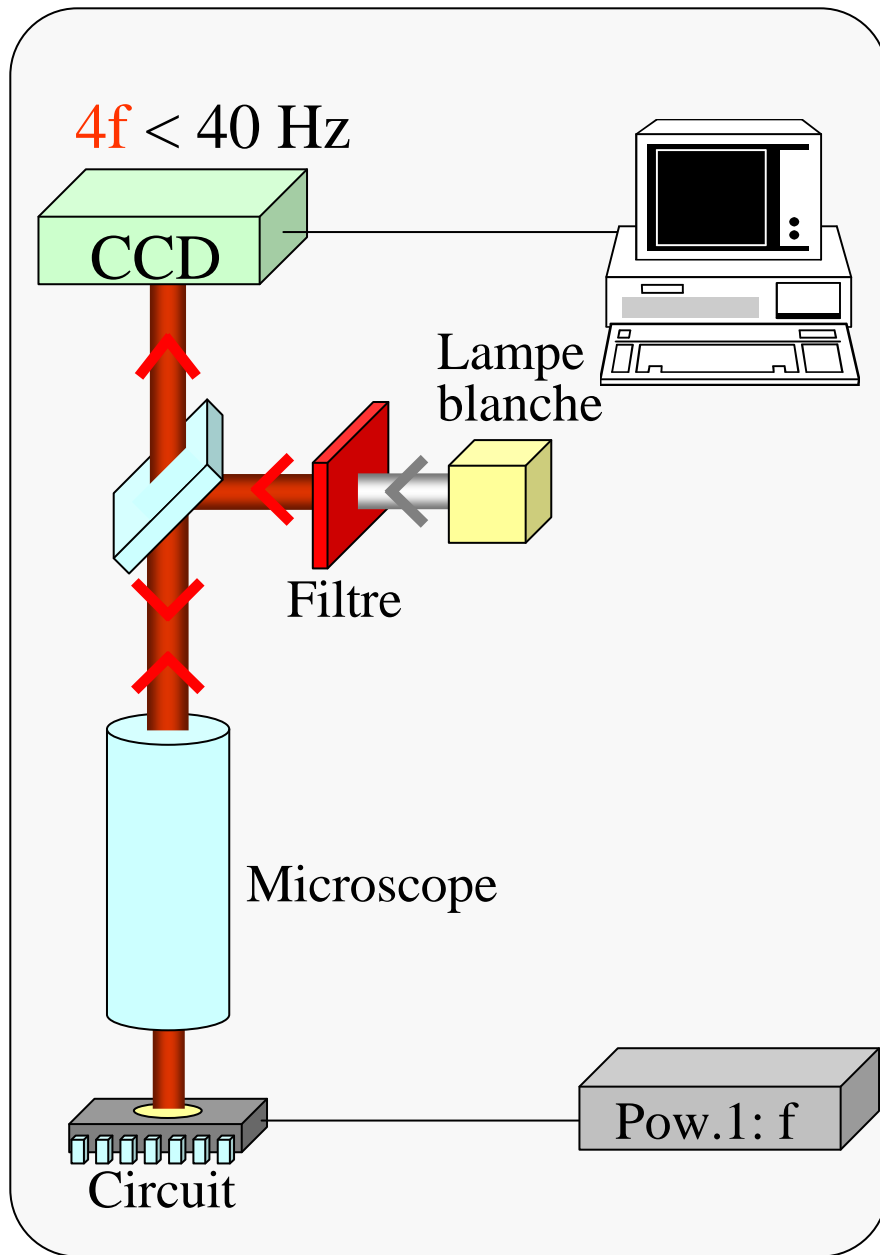


Mesure de ΔR à n'importe quelle longueur d'onde

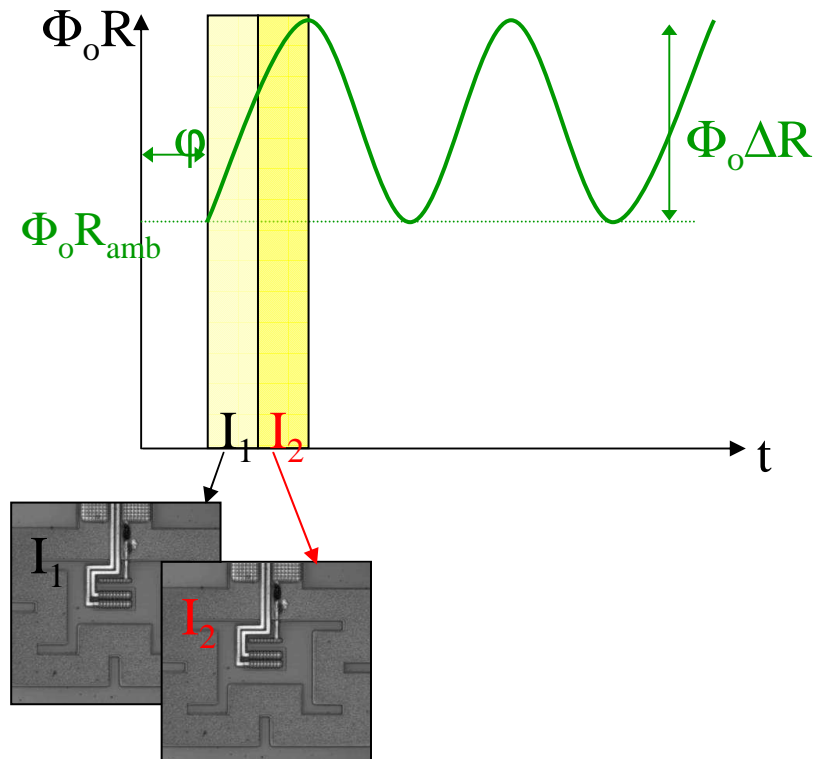
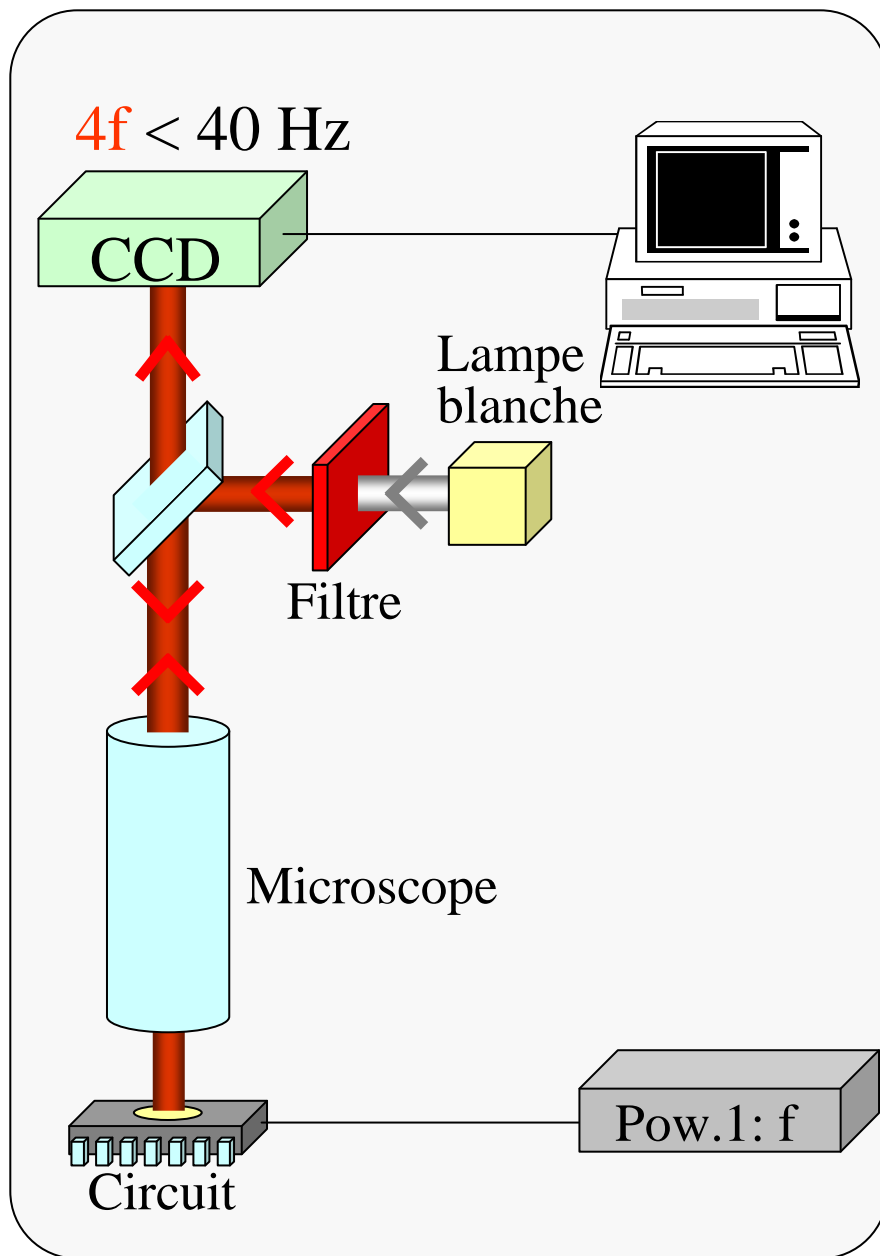


Variation de température ΔT

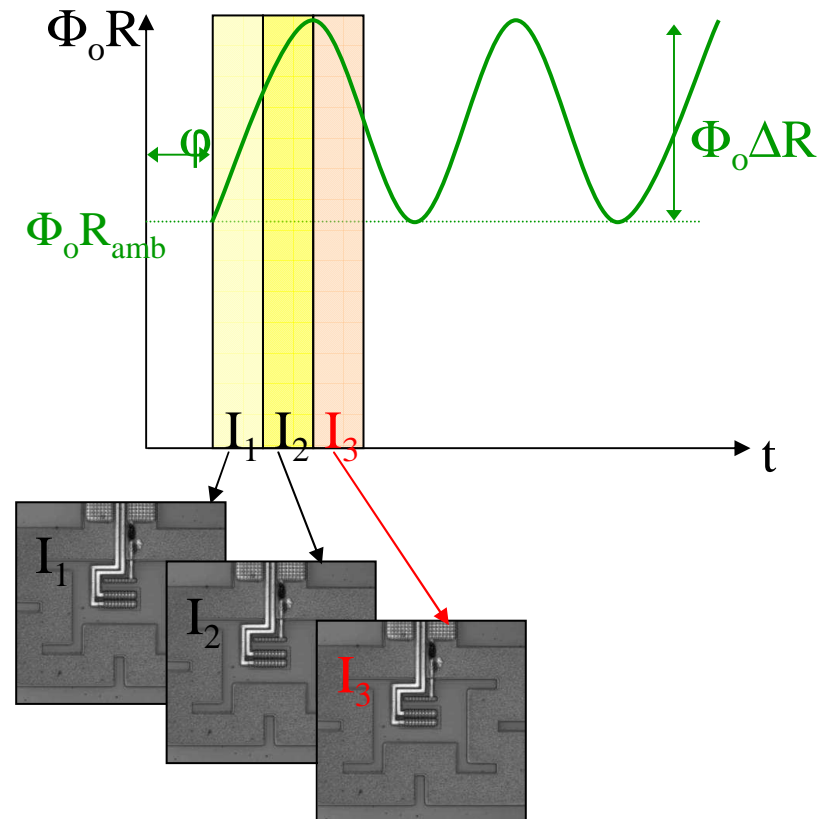
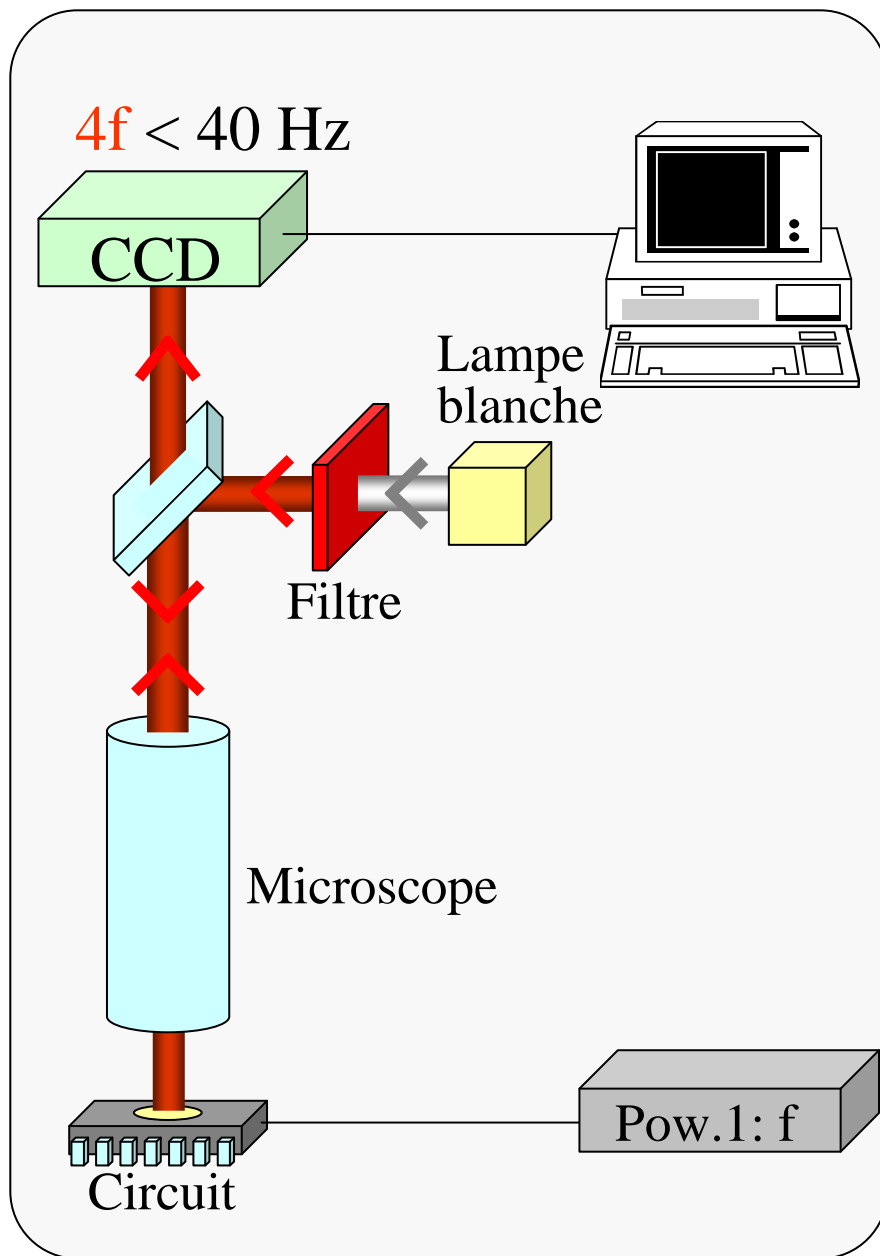
Imagerie de thermoreflectance CCD



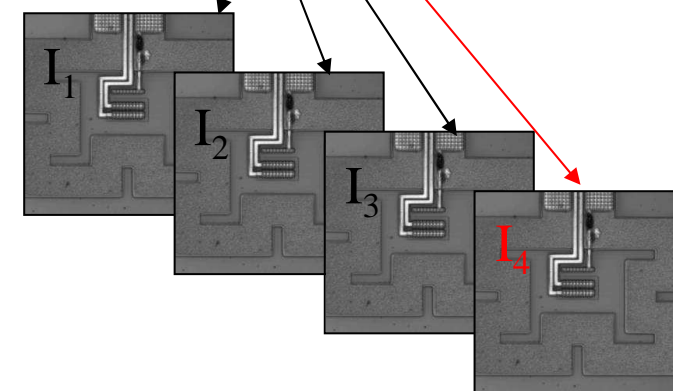
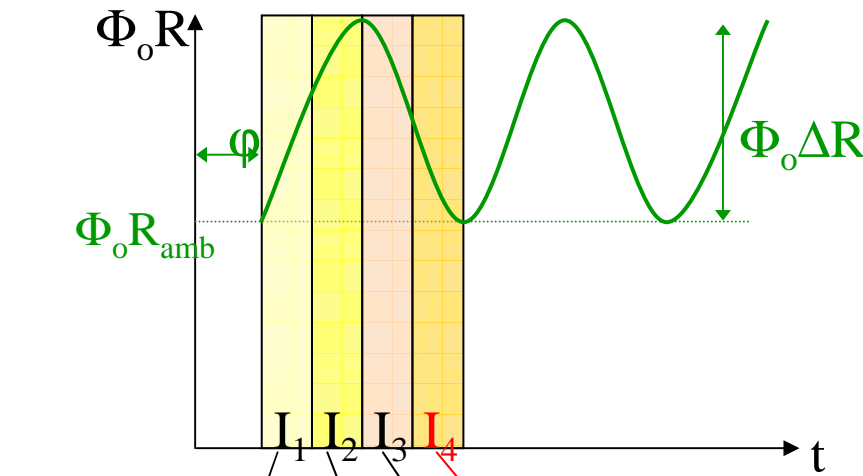
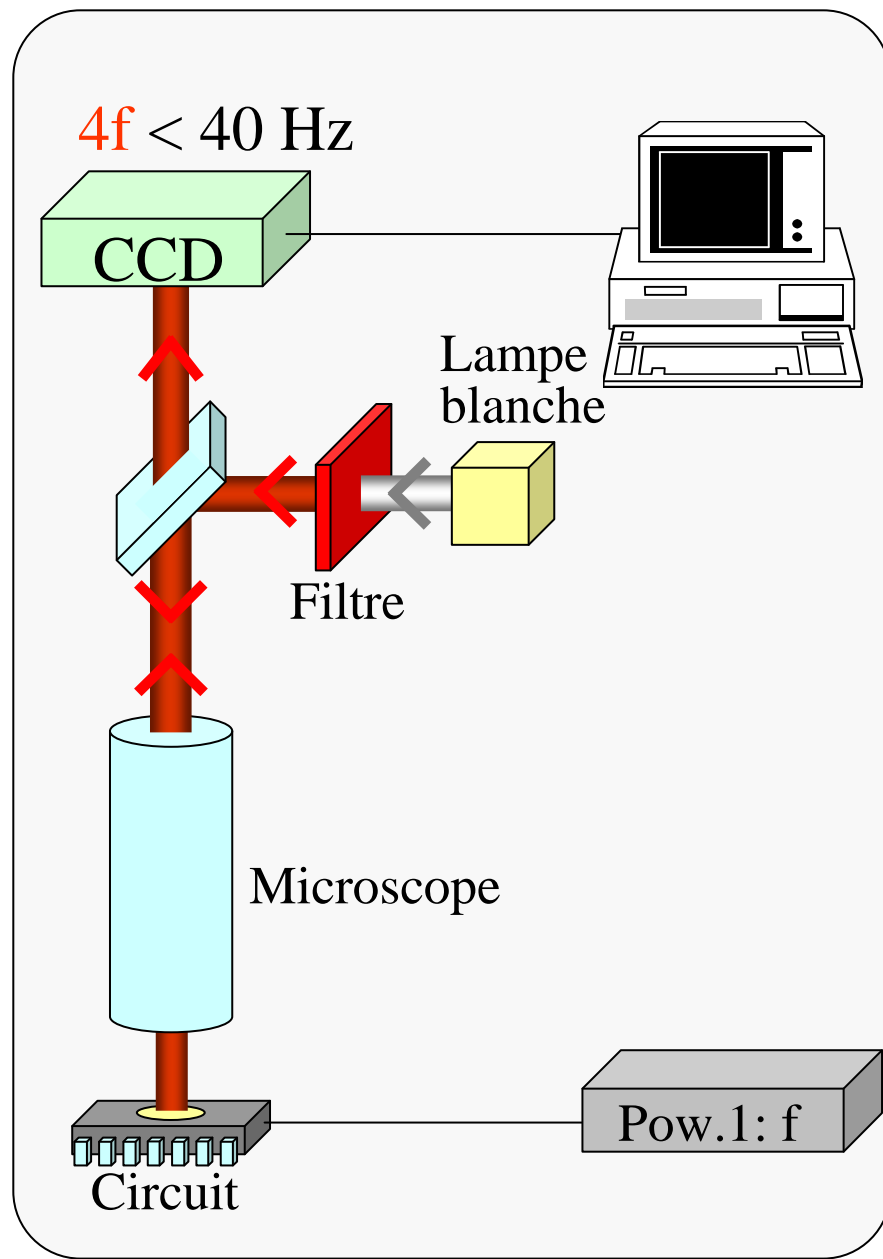
Imagerie de thermoreflectance CCD



Imagerie de thermoreflectance CCD

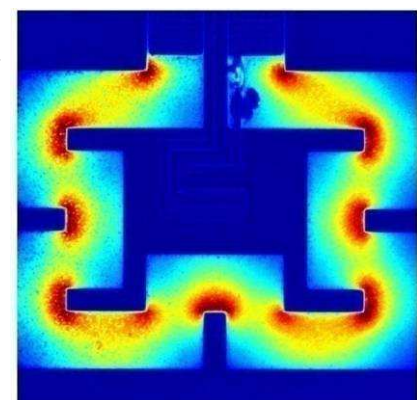


Imagerie de thermoreflectance CCD

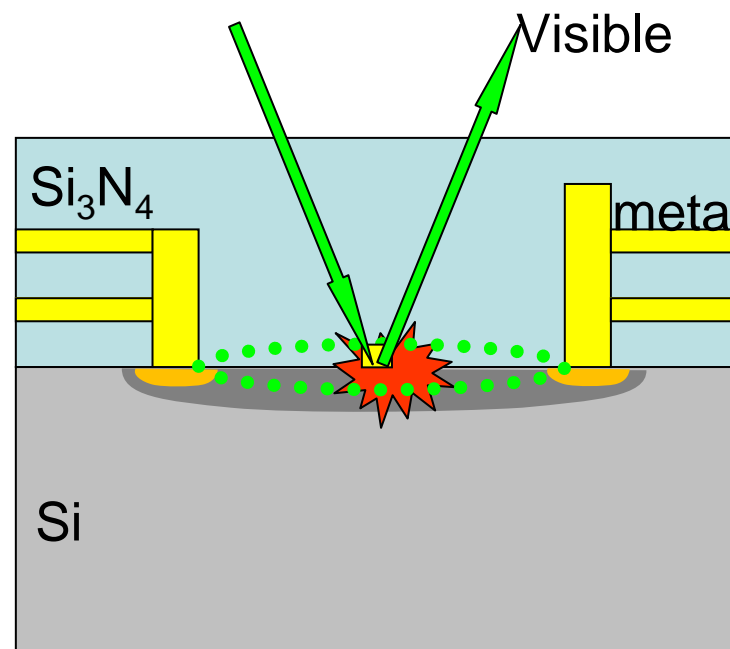


Amplitude
(ou phase)

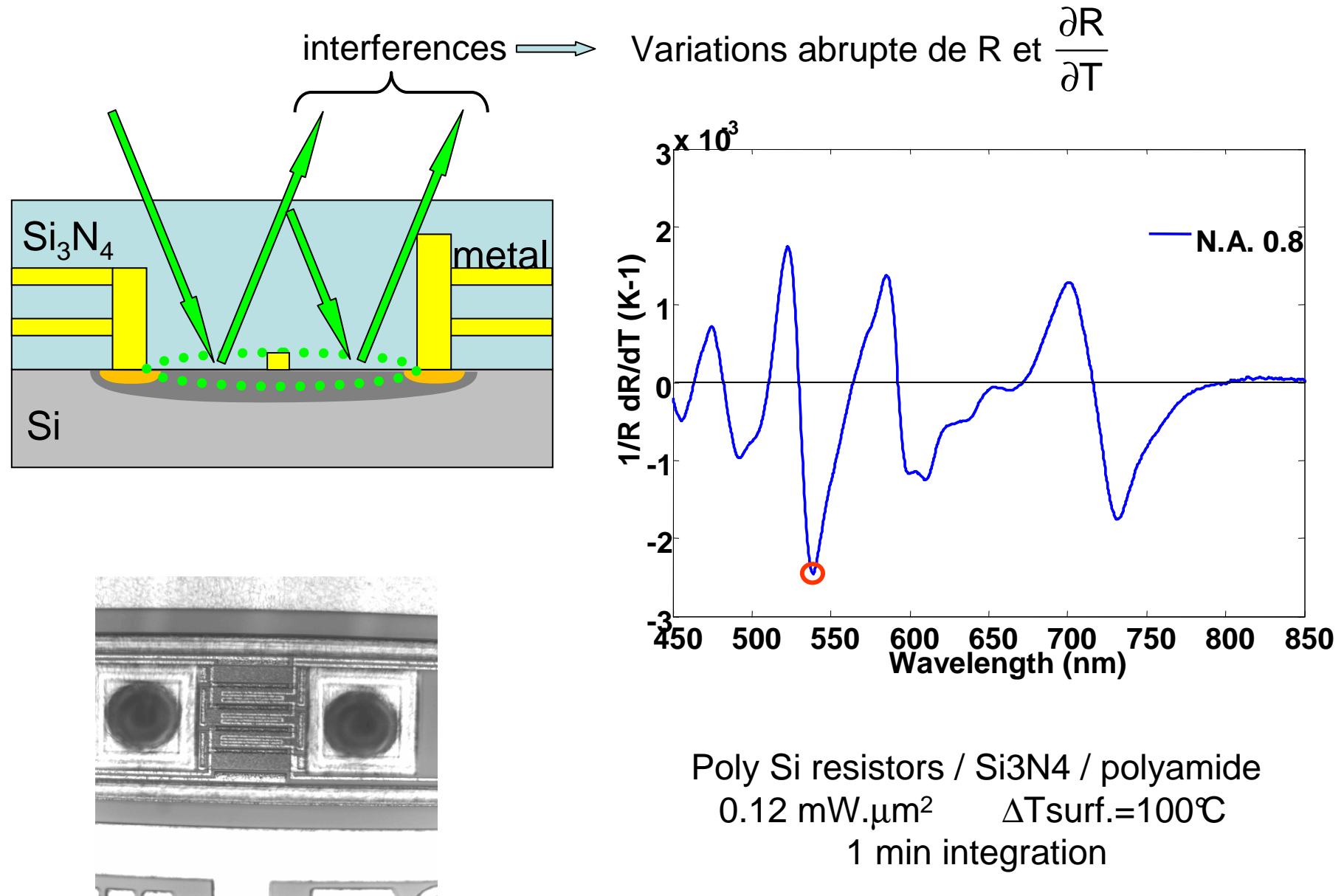
$$|\Phi_o \Delta R| = \sqrt{\frac{(I_1 - I_3)^2 + (I_2 - I_4)^2}{4}}$$



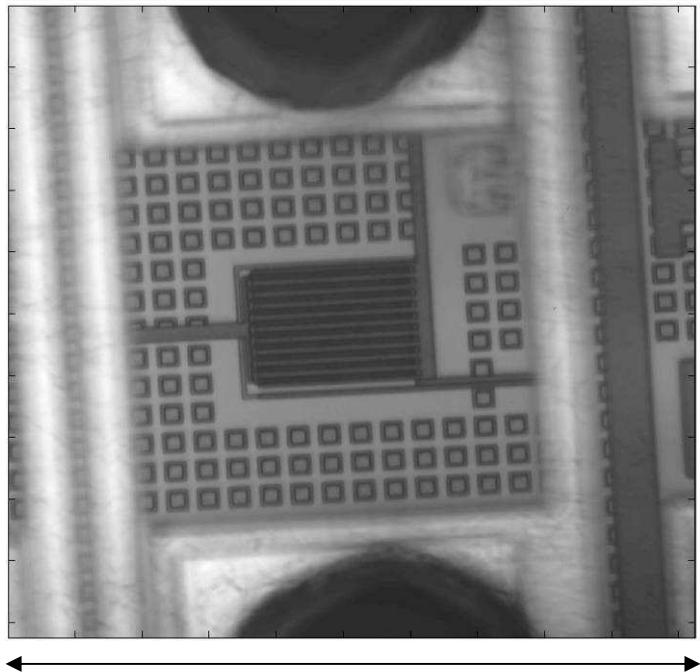
Thermoreflectance sous illumination visible



Interférences et thermoreflectance

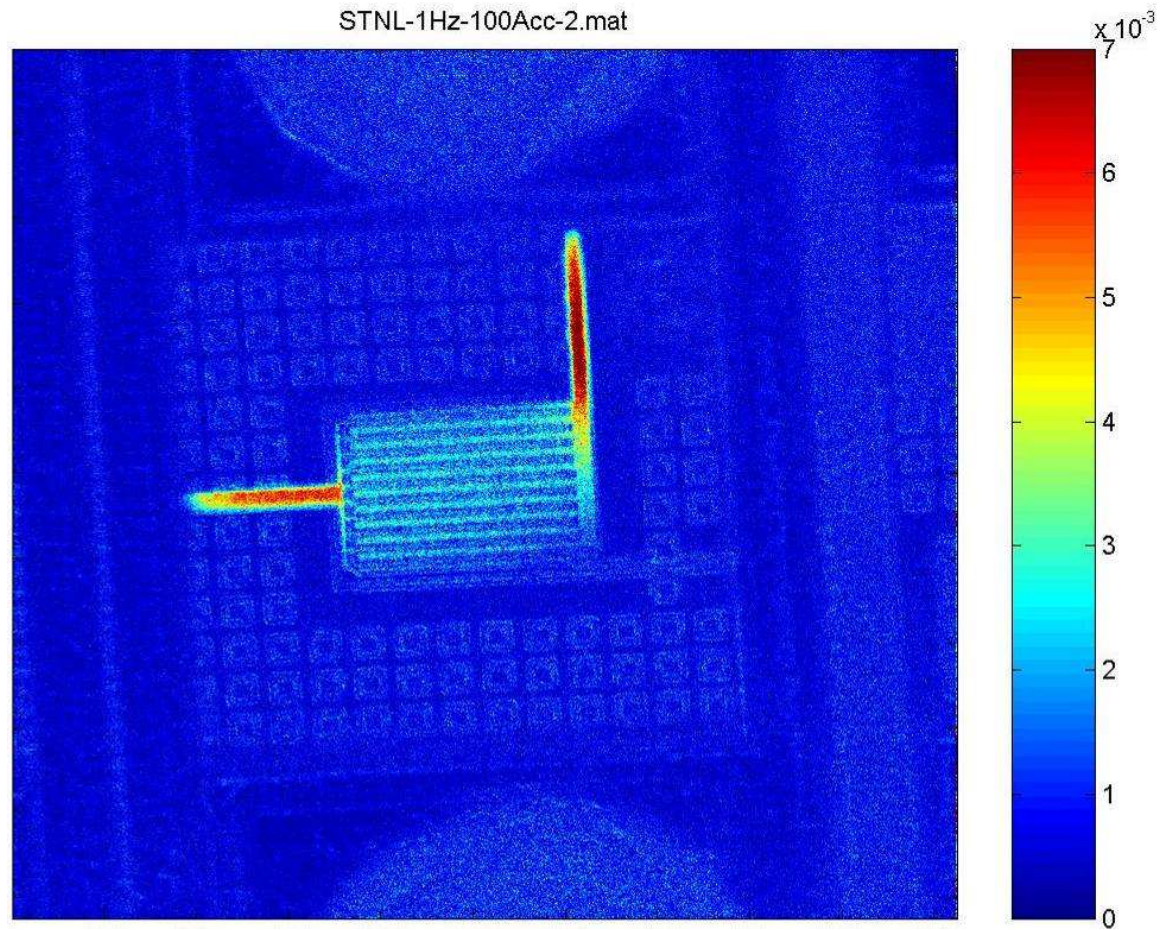


Réseau de transistors (ST Microelectronics)



125 μm

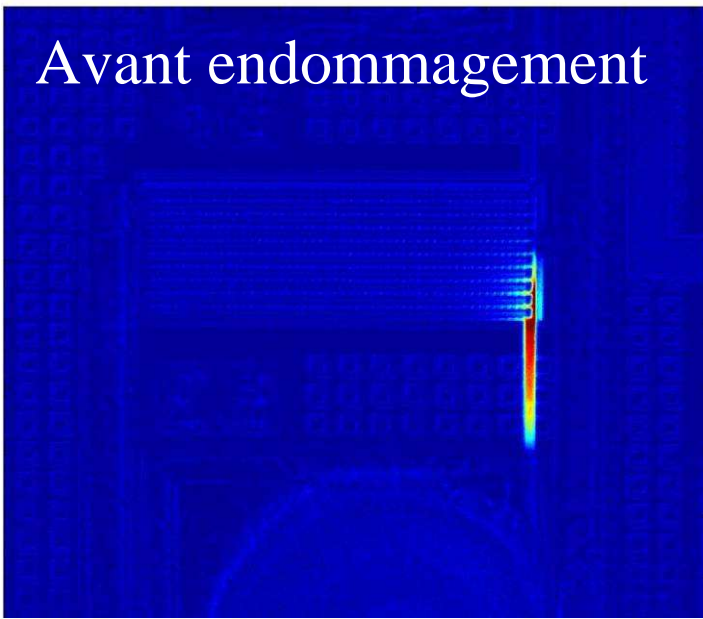
Structure sans fuites:
Pas de points chauds



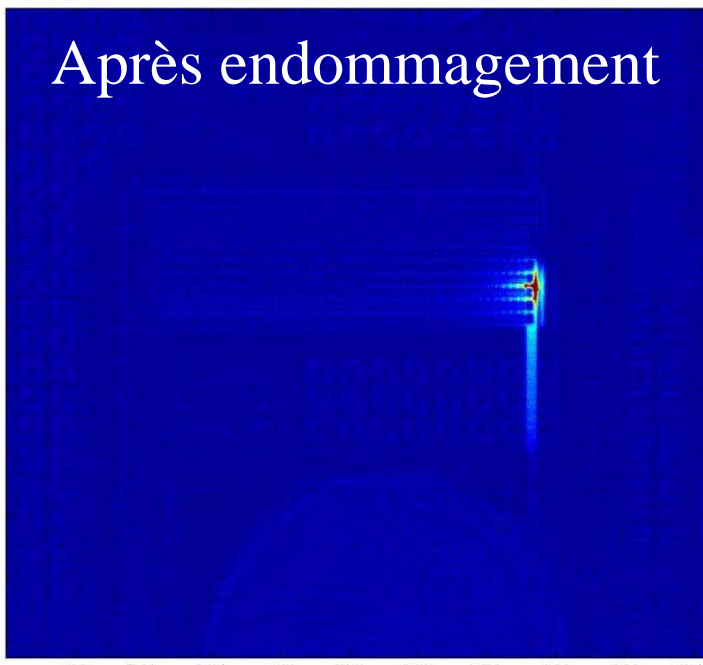
Réseau de transistors (ST Microelectronics)



Avant endommagement

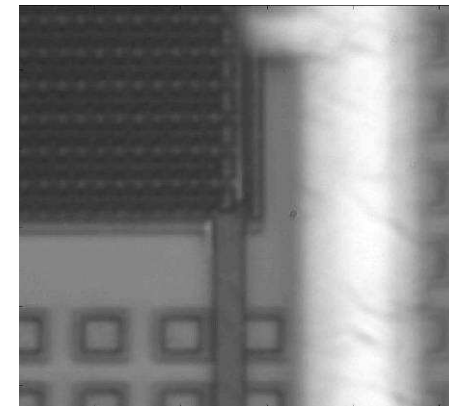


Après endommagement

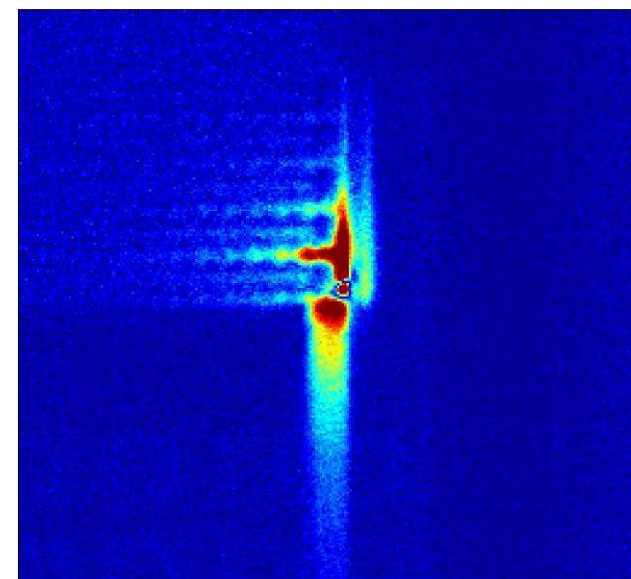


Resolution spatiale < 340 nm

Imagerie à travers 6 µm de diélectrique



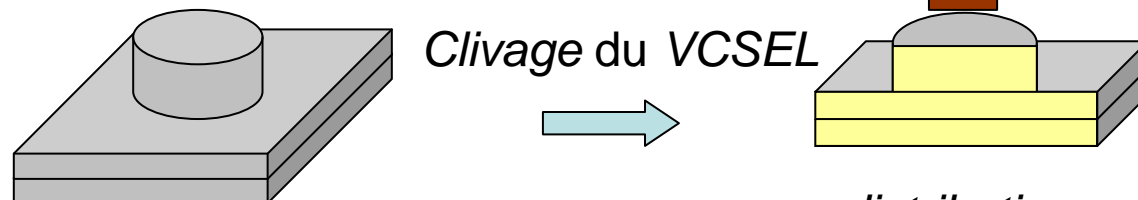
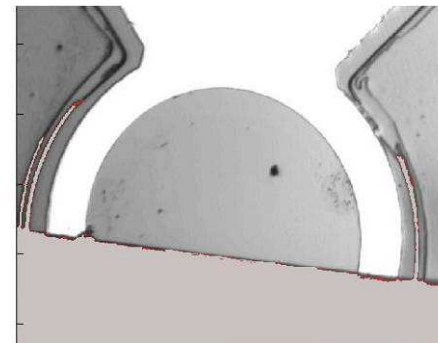
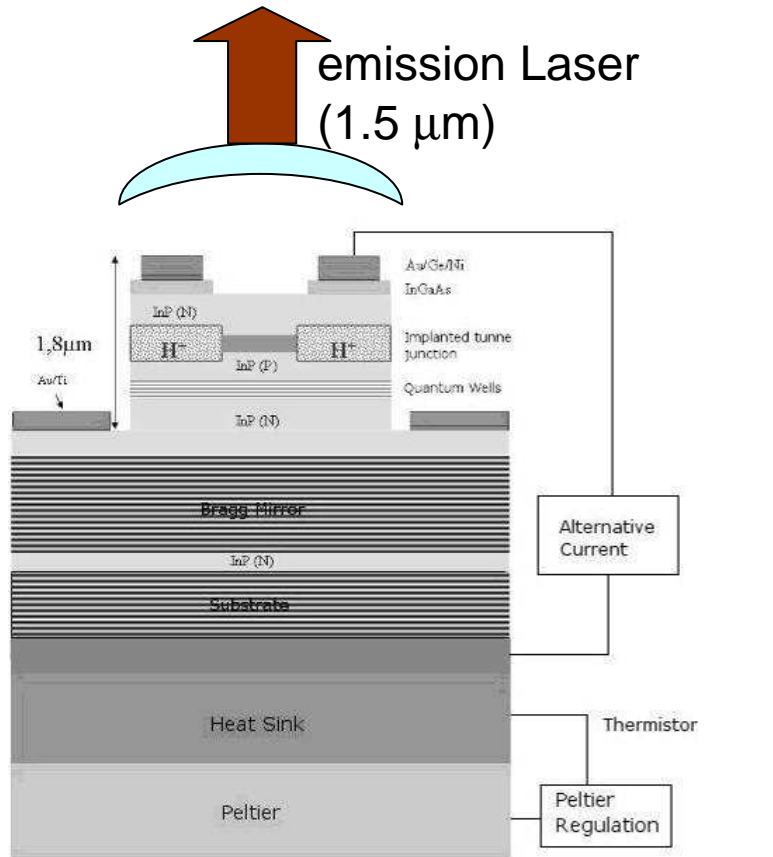
125 µm



13 µm

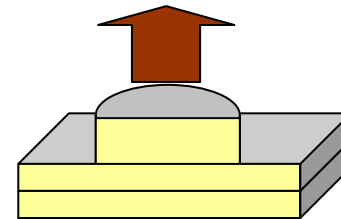
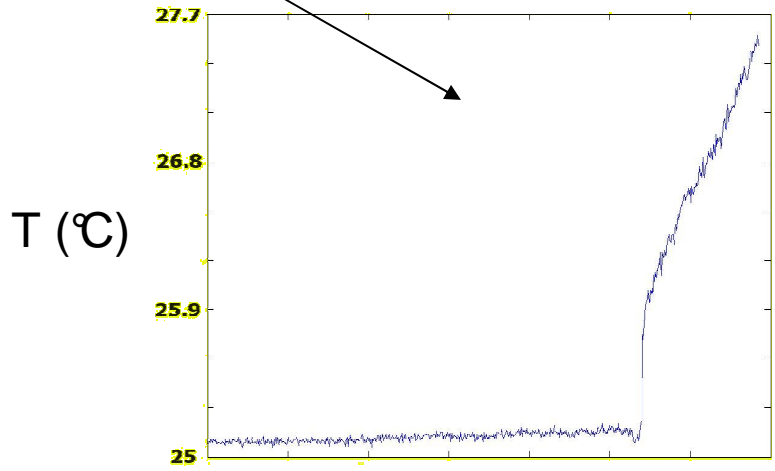
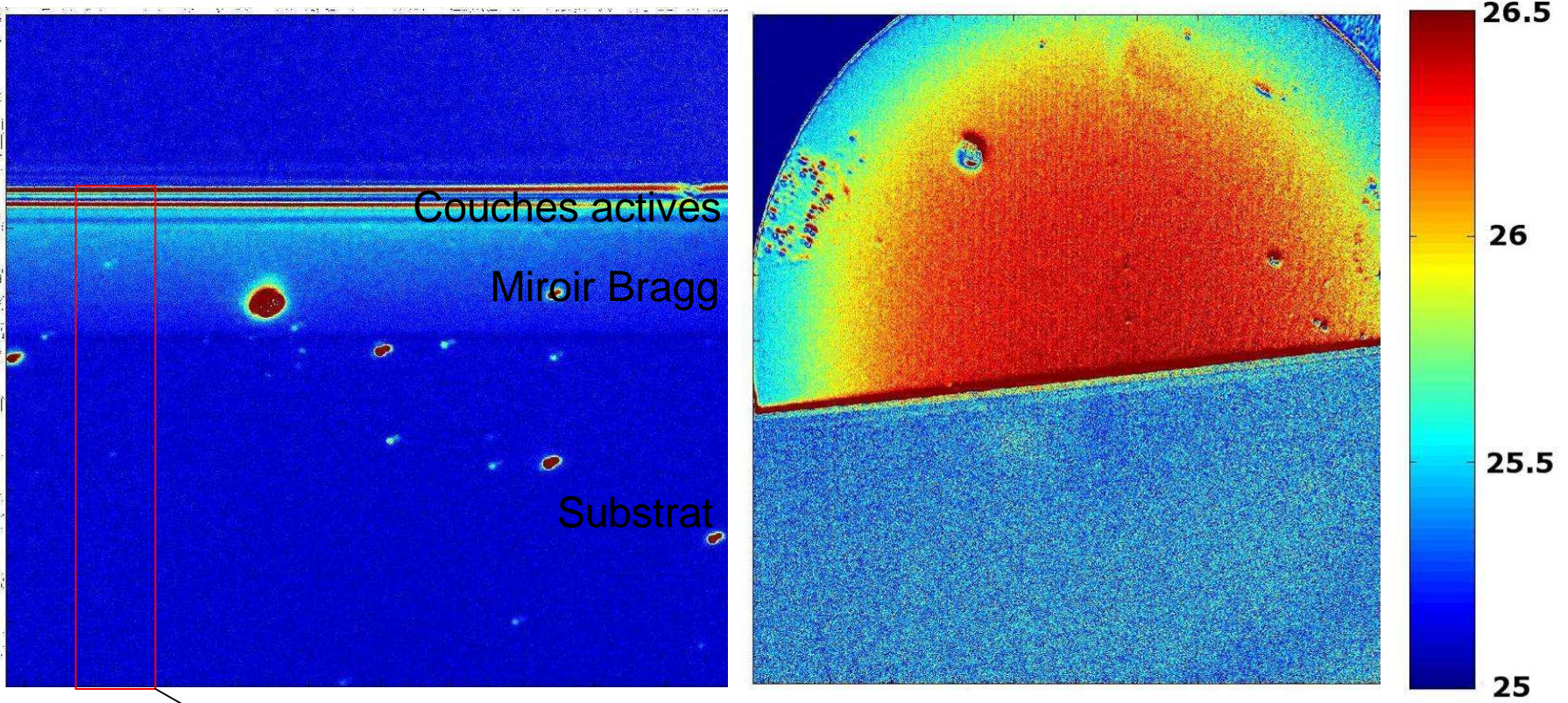
Vertical Cavity Surface Emission Lasers (VCSELs)

M Bardoux, ESPCI, S. Bouchoule, A. Bousseksou, LPN

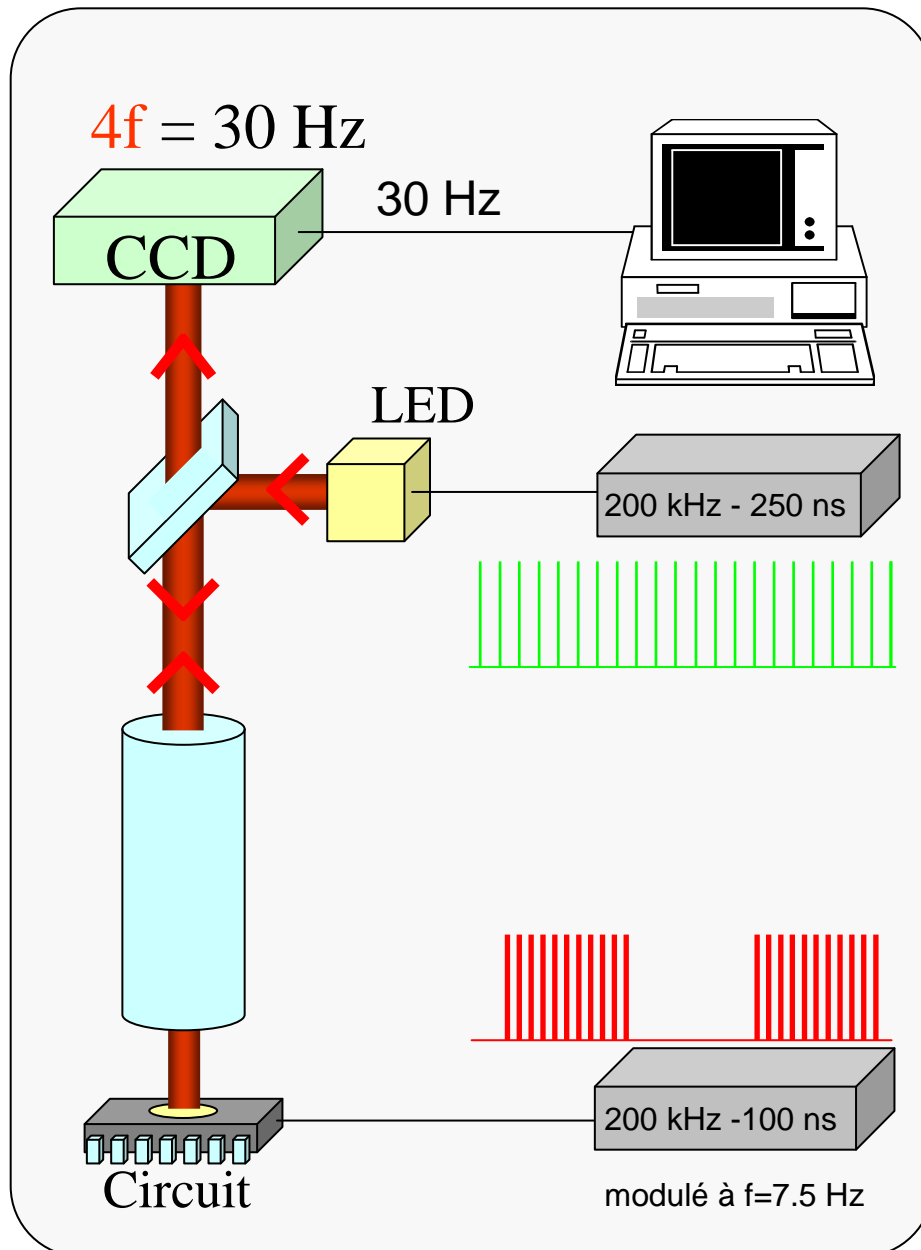


*distribution
Verticale de la température*

Vue de côté (substrat, mirror, active layers) Vue de dessus (facette d'émission) T (°C)



Thermoreflectance résolue en temps



Impulsions lumineuses : 250 ns

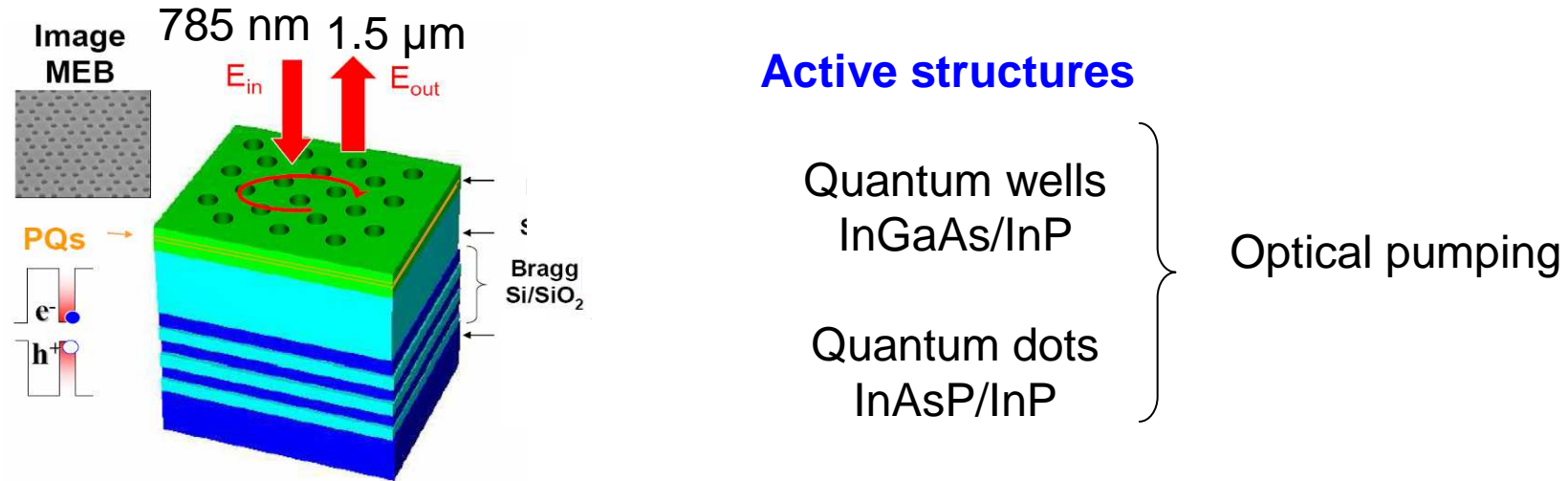
= Résolution temporelle

Thermoréflectance résolue en temps

V. Moreau

Collaboration M. Brunstein, A. Yacomotti, R. Raj, A. Levenson, LPN Marcoussis

Photonic crystal active structures emitting at 1.55 µm

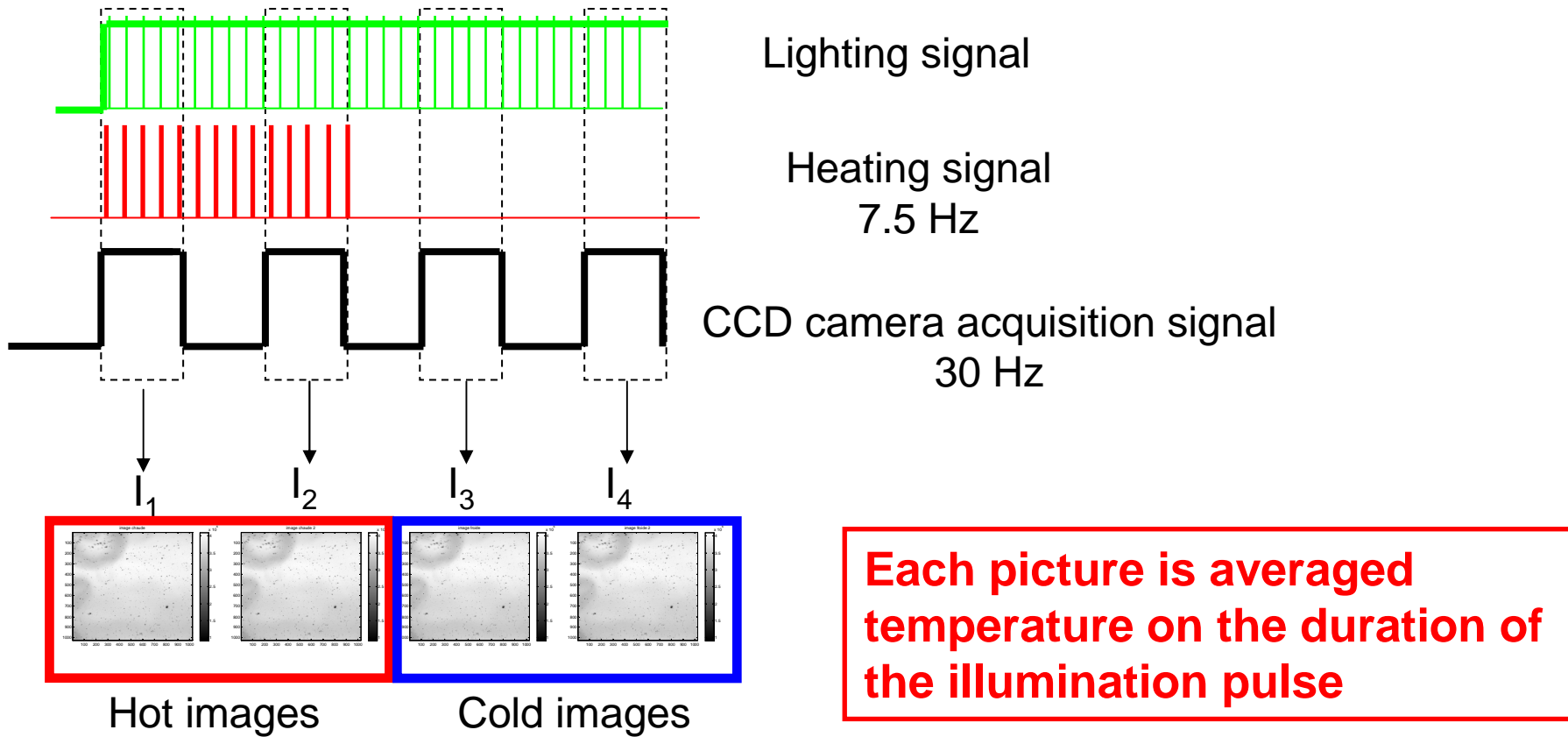


- For many applications, such as laser effect or non-linear studies, the pump can be intense and the heating should be managed.
- In other cases, these effects can be useful : thermo-optical switches



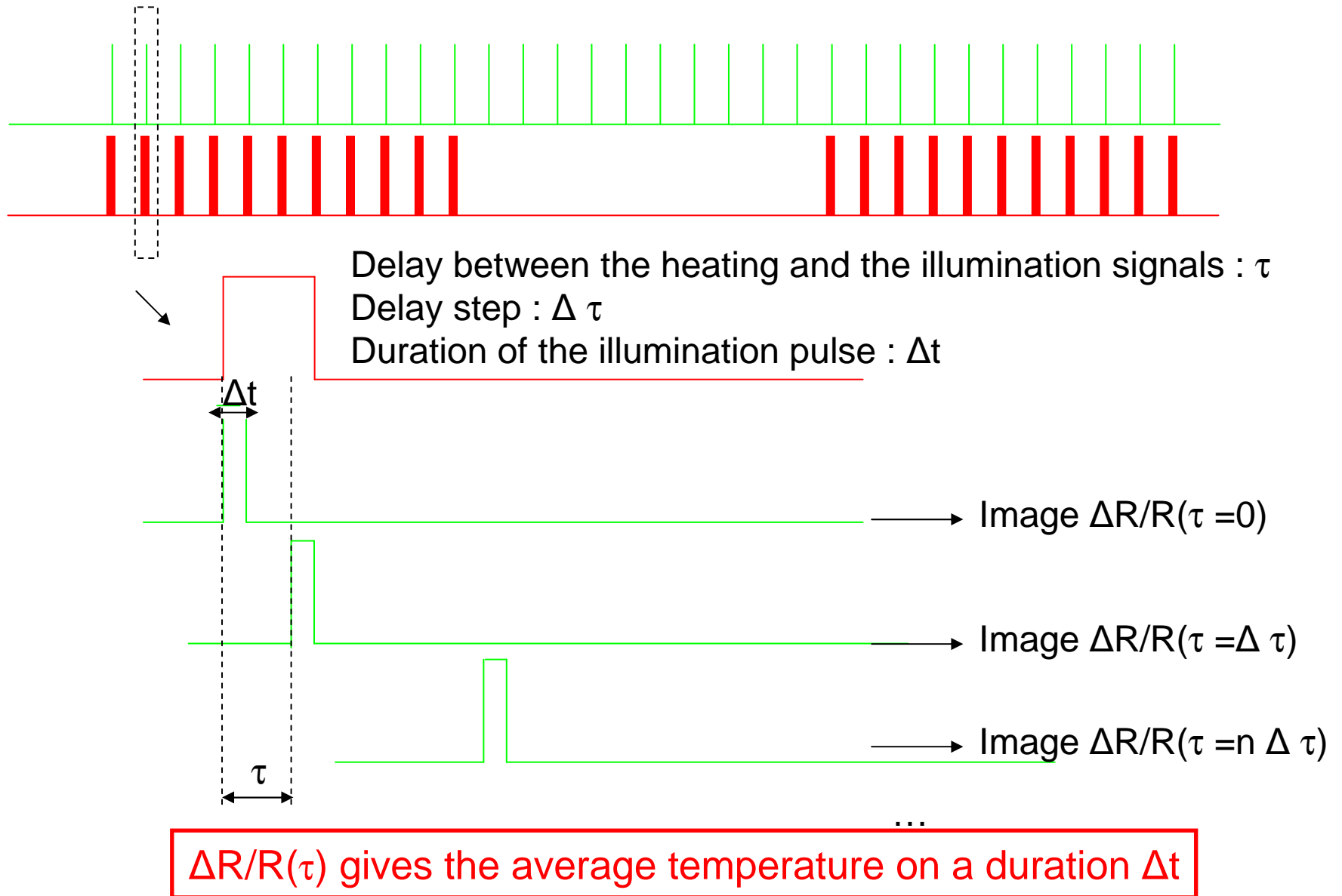
Need for a non invasive spatio-temporal high resolved system for temperature measurement

Transient thermoreflectance principle : stroboscopic principle

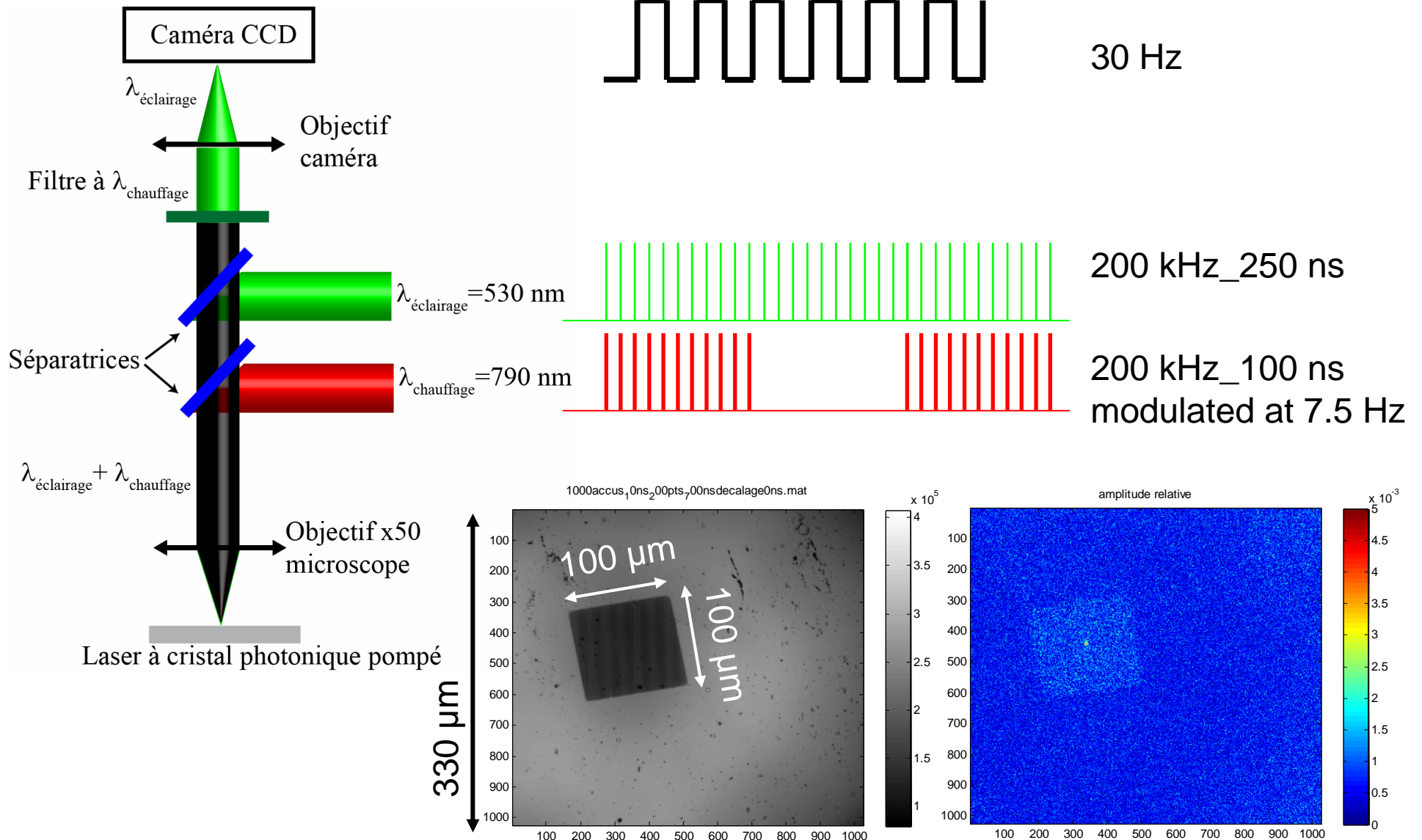


$$\rightarrow \frac{(I_1 - I_3) + i(I_2 - I_4)}{(I_1 + I_2 + I_3 + I_4)/4} \rightarrow \Delta R / \langle R \rangle$$

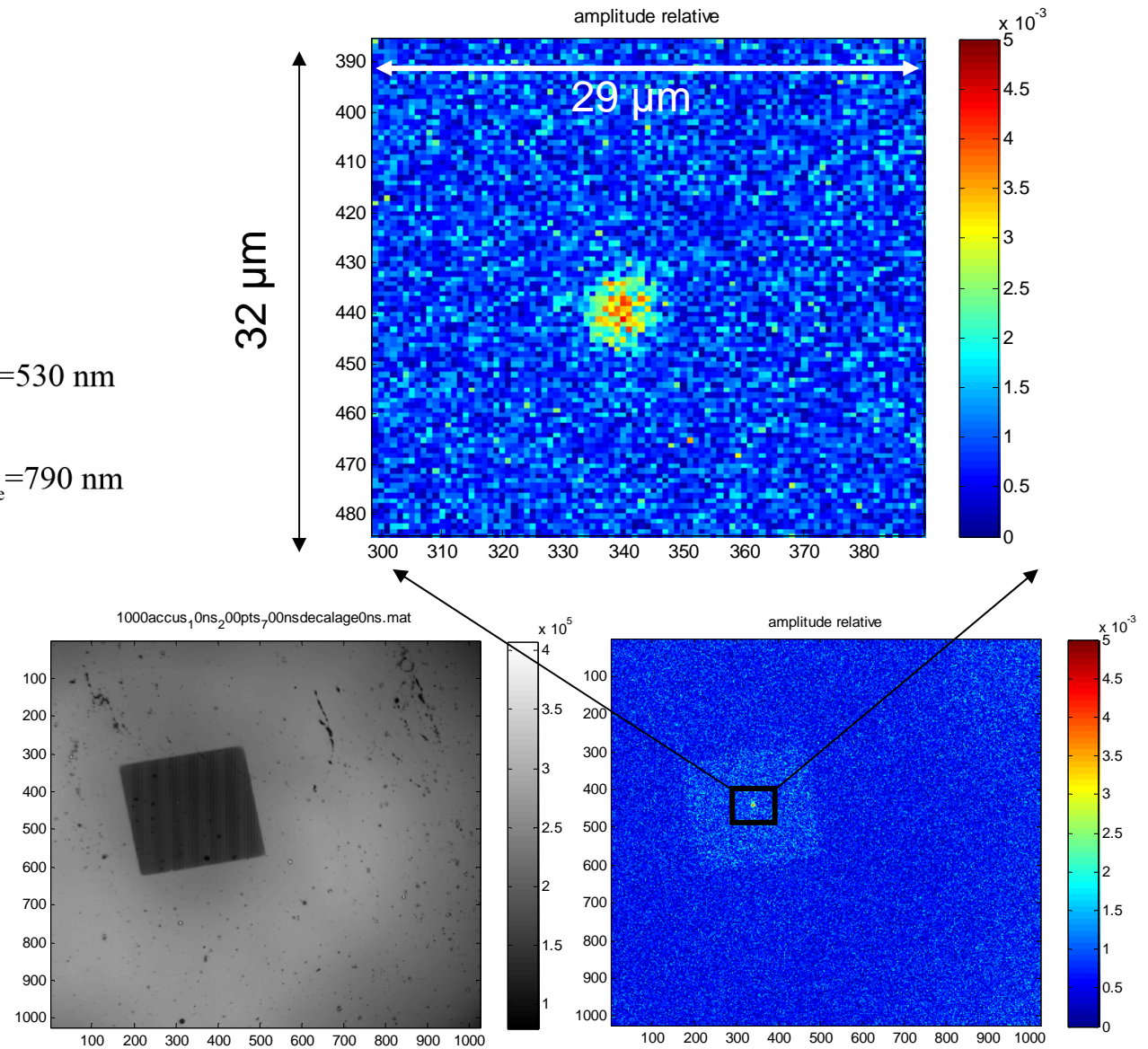
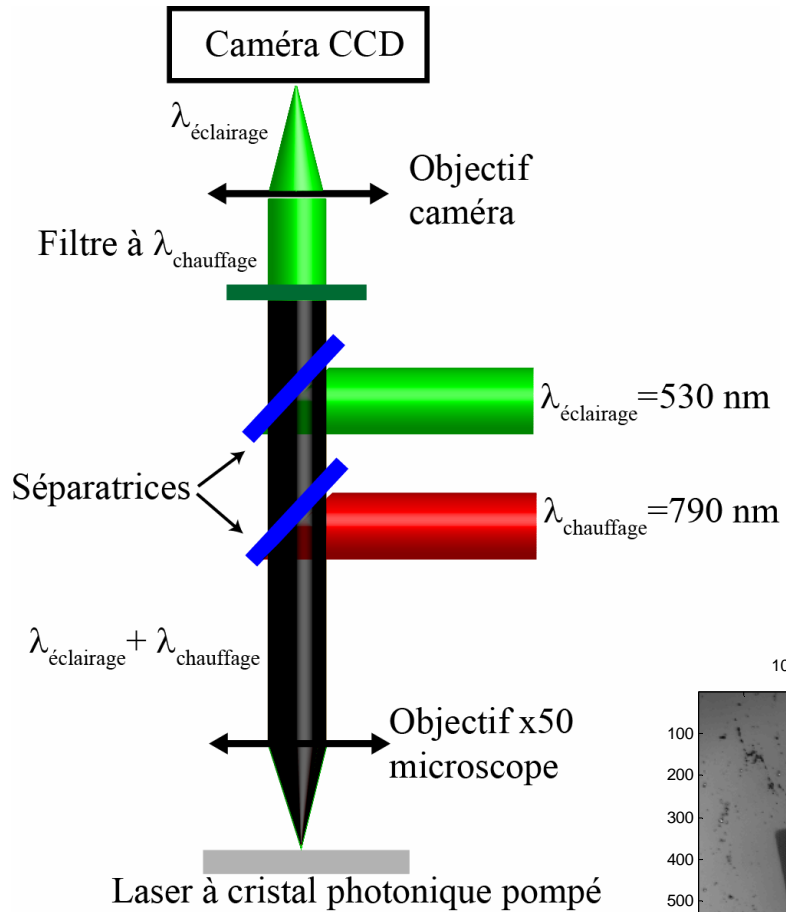
Transient thermoreflectance principle



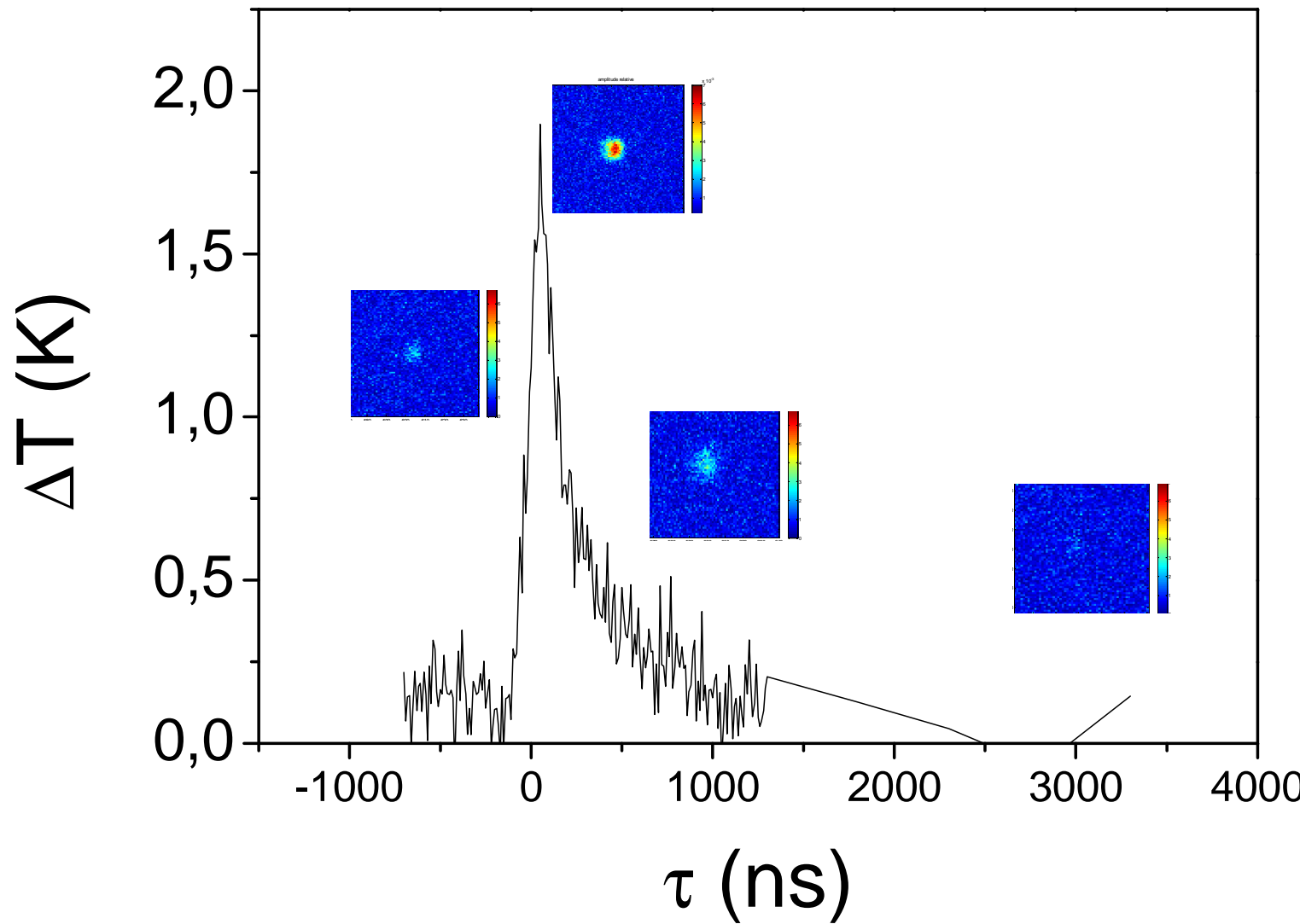
Transient thermoreflectance on a photonic crystal laser



Transient thermoreflectance on a photonic crystal laser

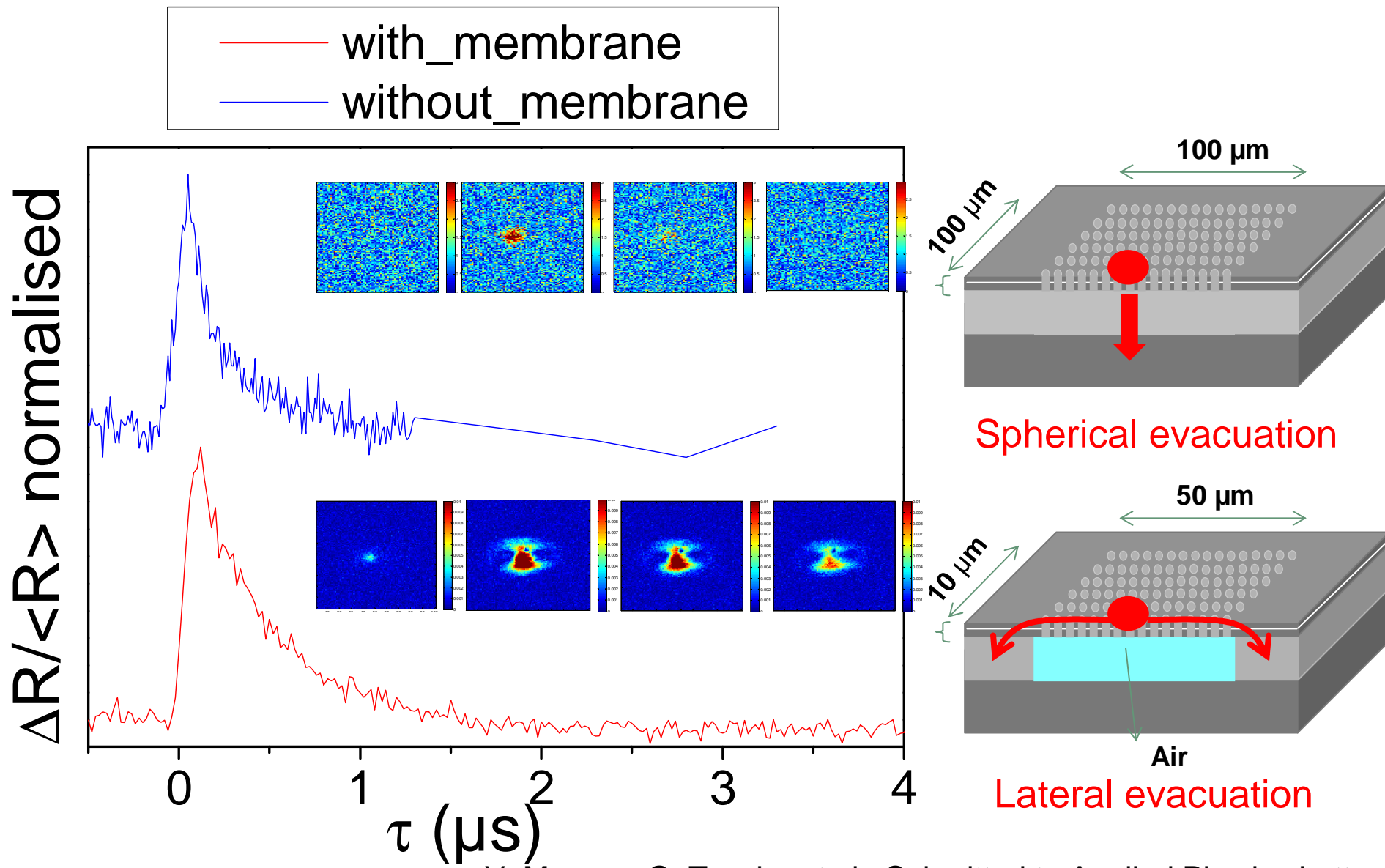


Spatio-temporal distribution of temperature on 2D photonic crystal lasers



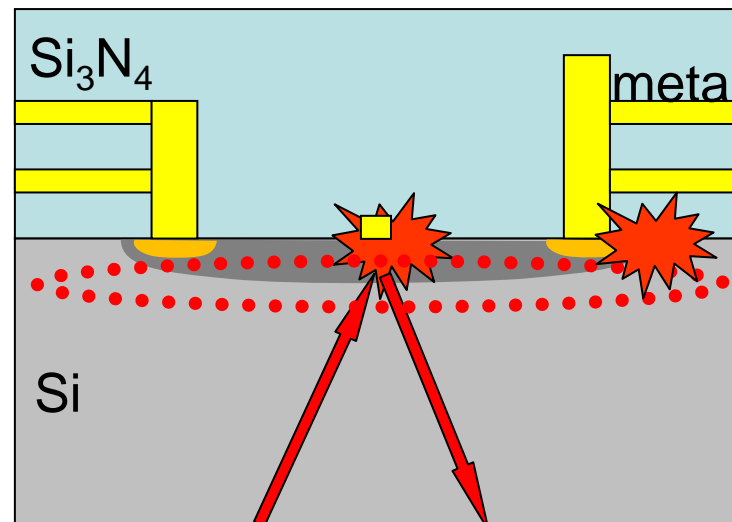
Dissipation time < 1 μ s and increase of temperature around 2 K

Different mechanisms of thermal evacuation



2

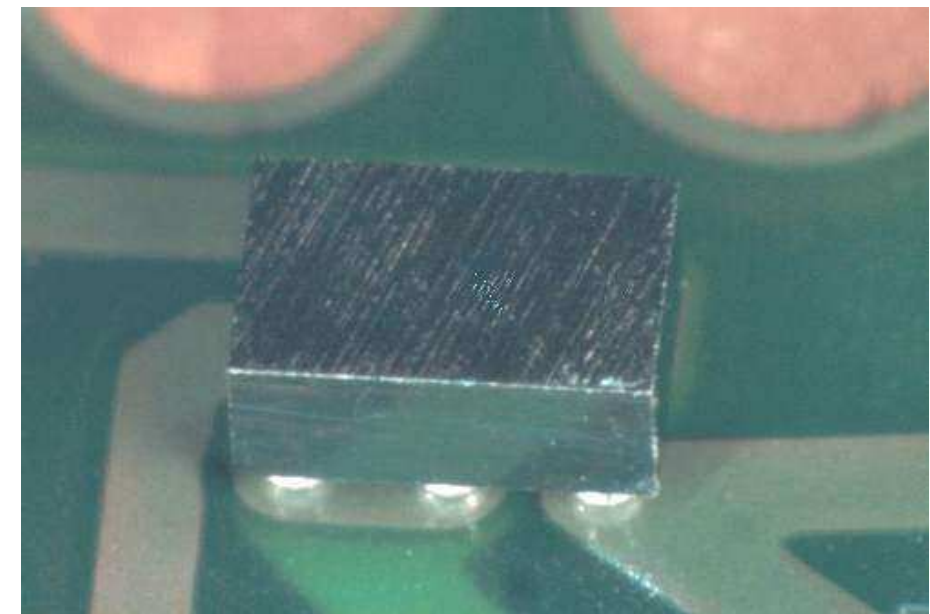
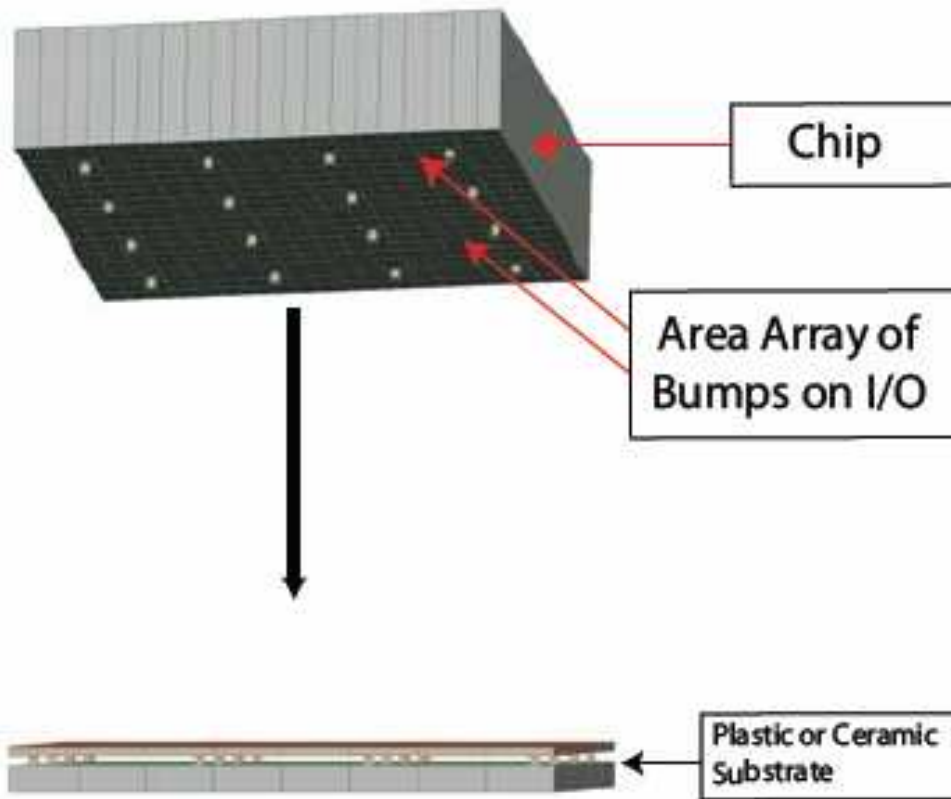
Thermoreflectance dans l'Infra Rouge



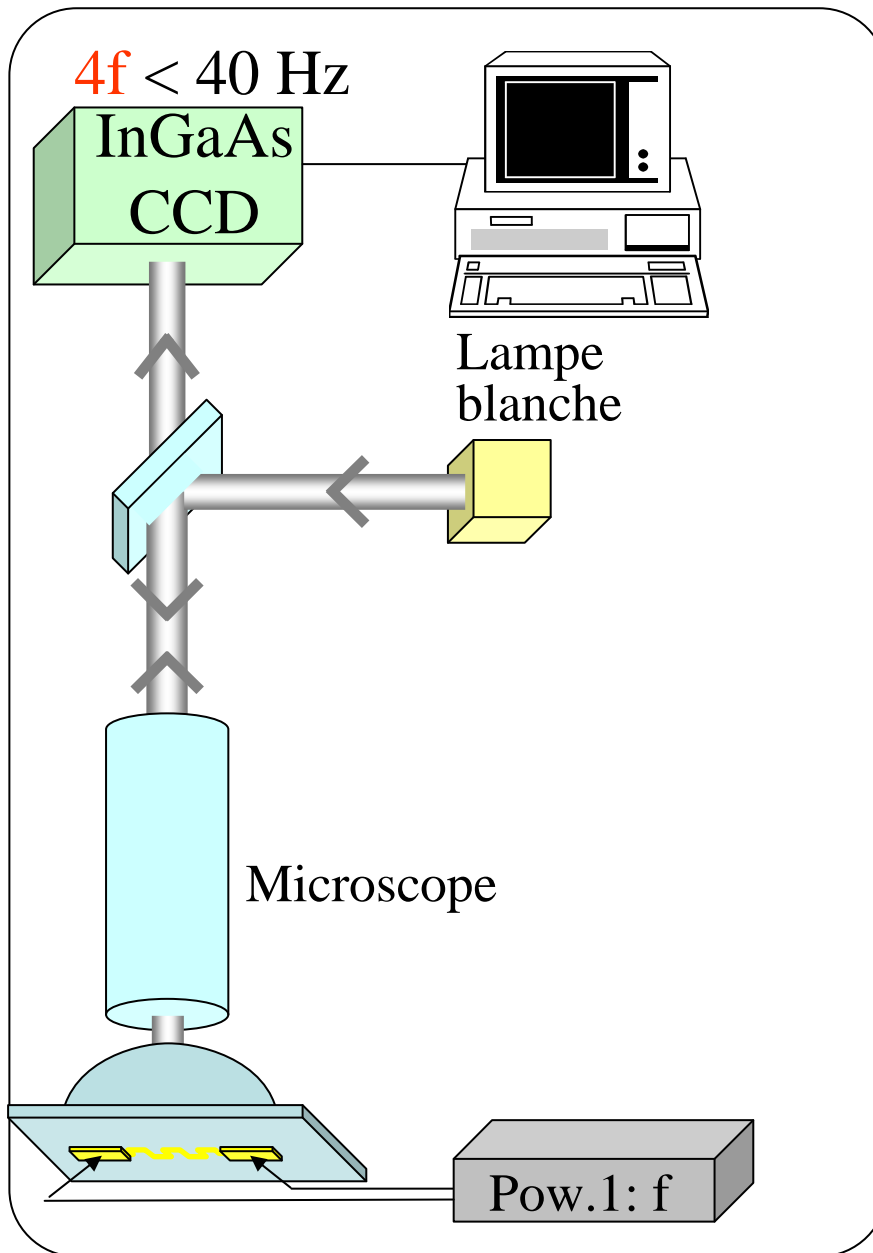
Infrarouge proche

Configurations « flip chip »

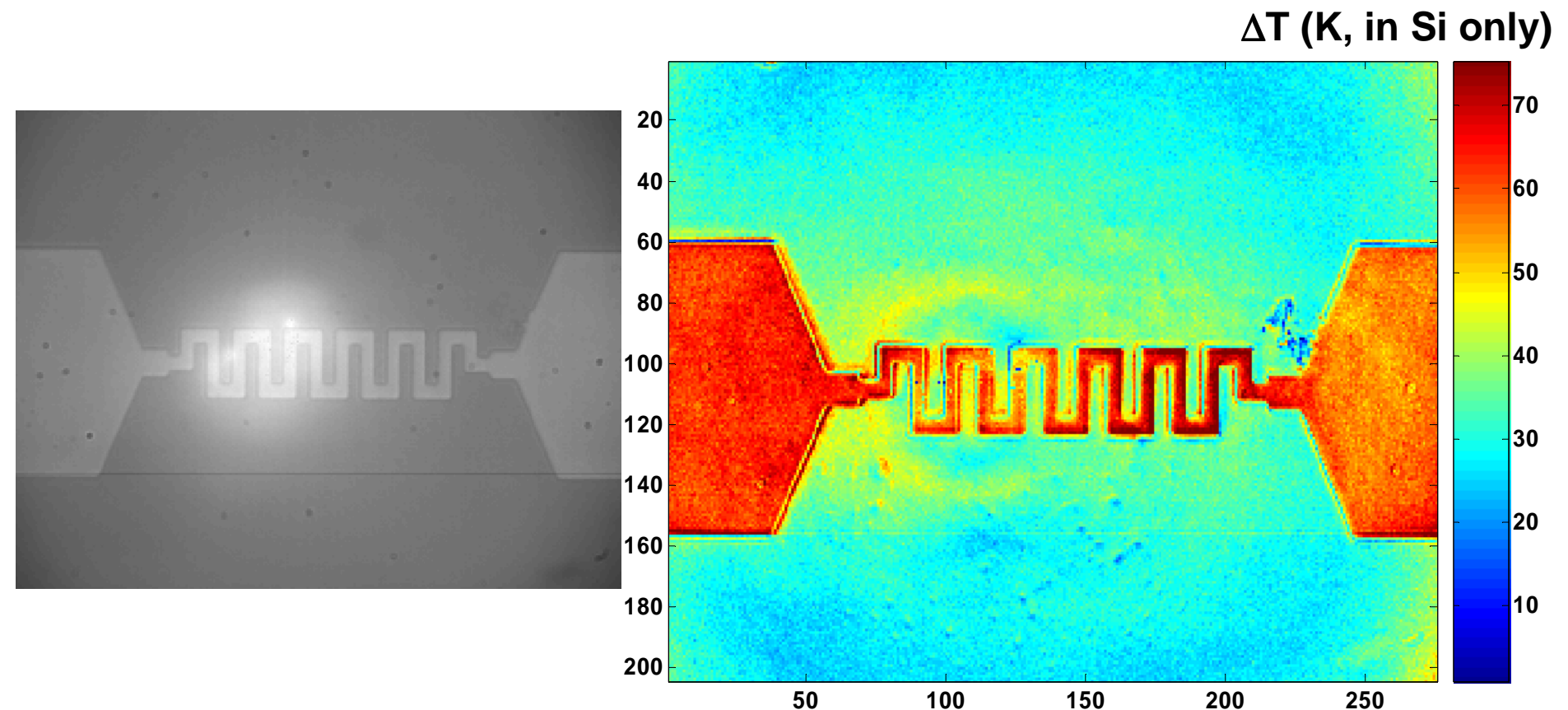
Substrat retourné → face active en contact thermique avec le support



Thermoreflectance avec une caméra InGaAs

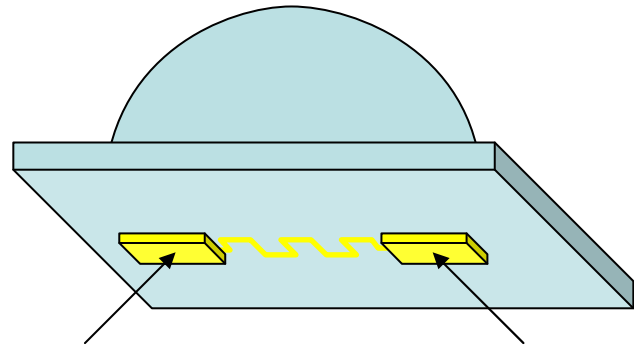


Imagerie proche infrarouge en face arrière

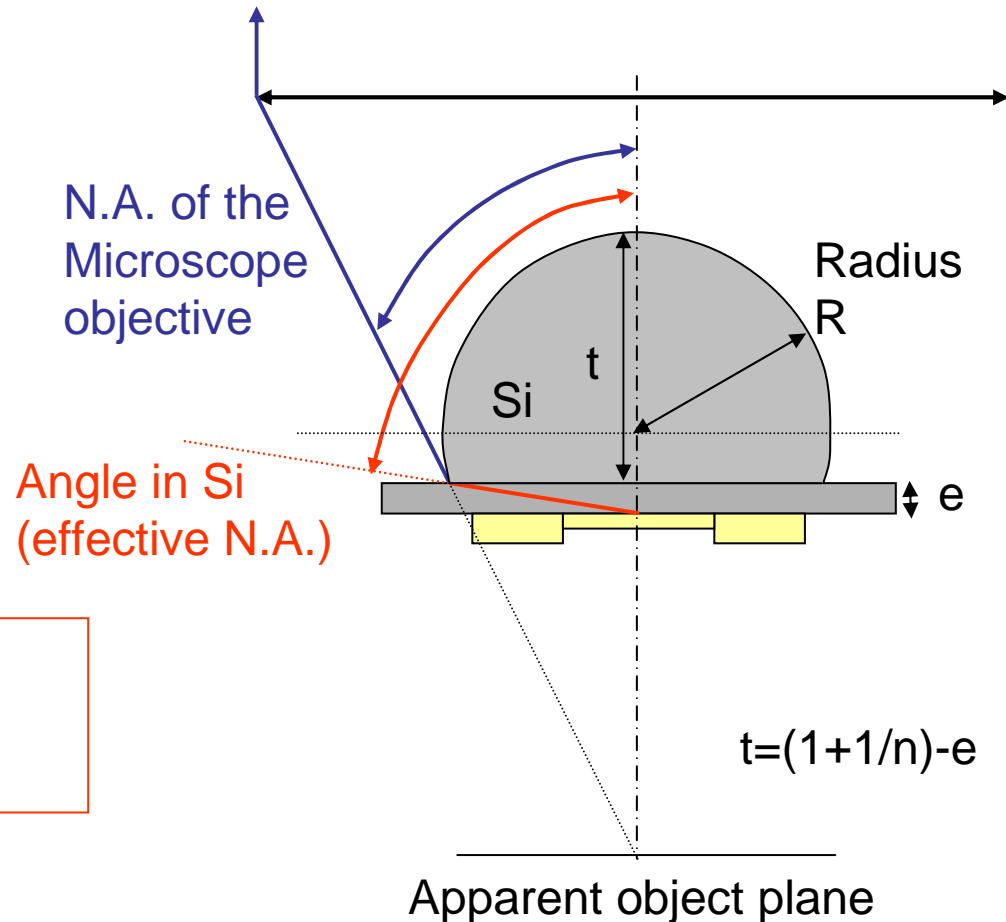


Puissance dissipée : 500 mW
objectif X50, 0.6N.A.
Résolution limitée par la diffraction : 1.7 μ m

Lentille à immersion solide: Si



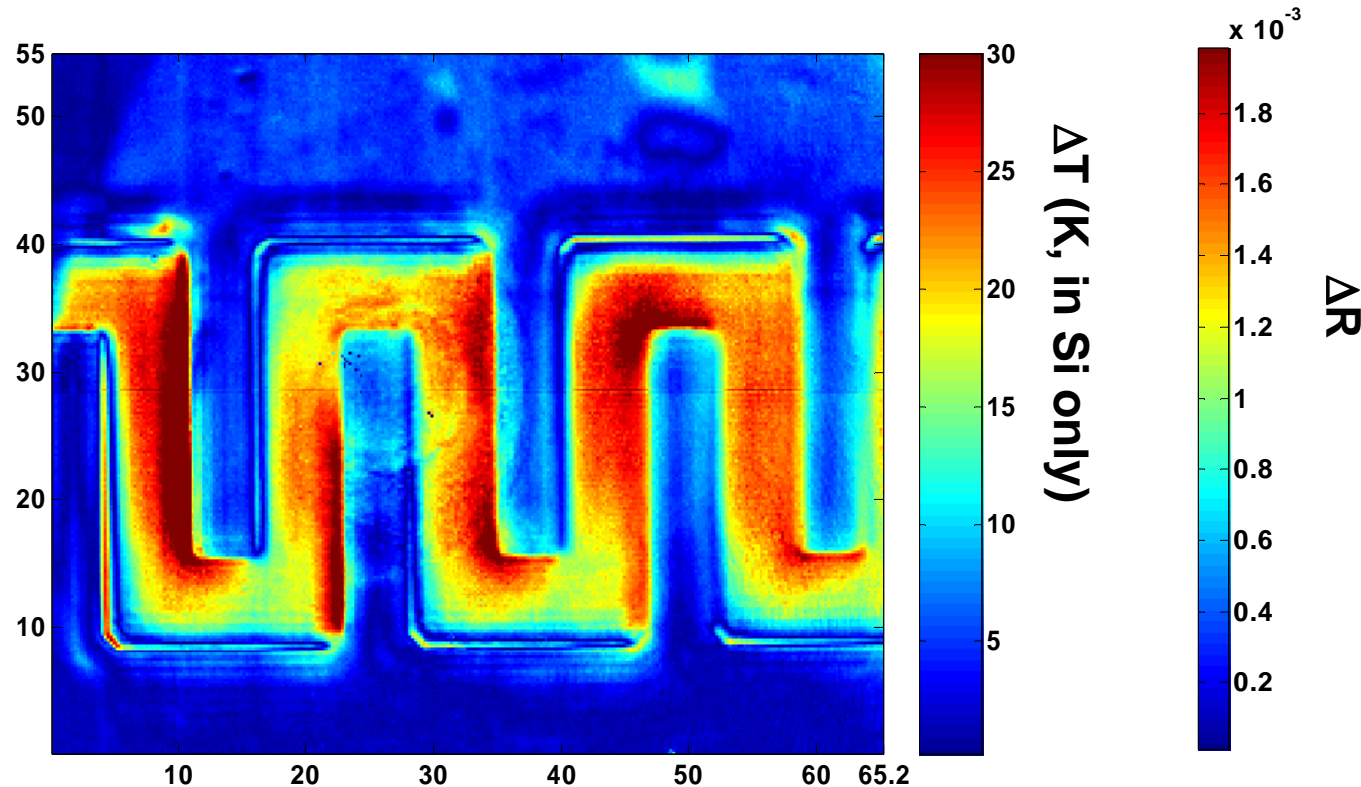
$$n_{\text{Si}} = 3.5$$



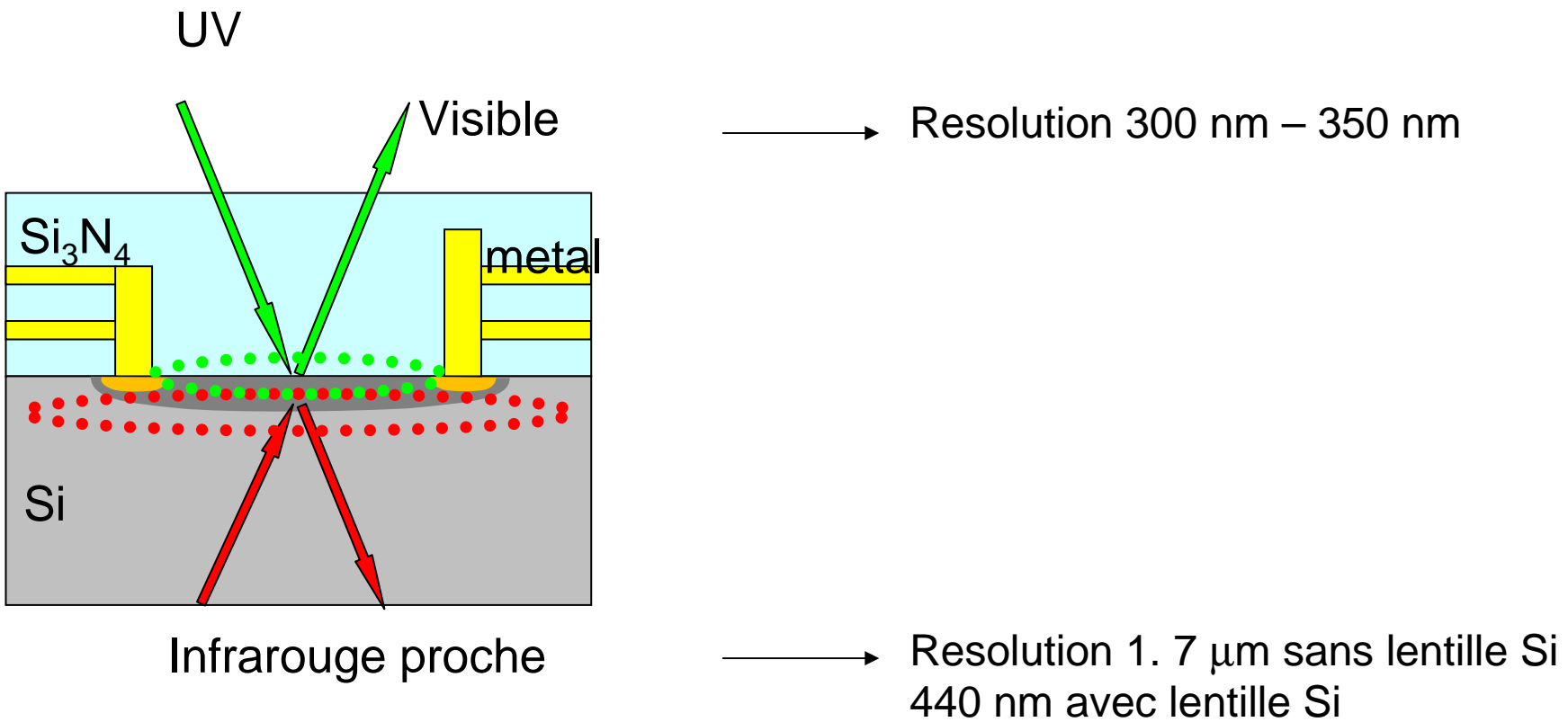
Resolution limit : $1.22 \lambda / 2 \text{ NA}$

in silicon : 245 nm at $\lambda = 1.3 \mu\text{m}$

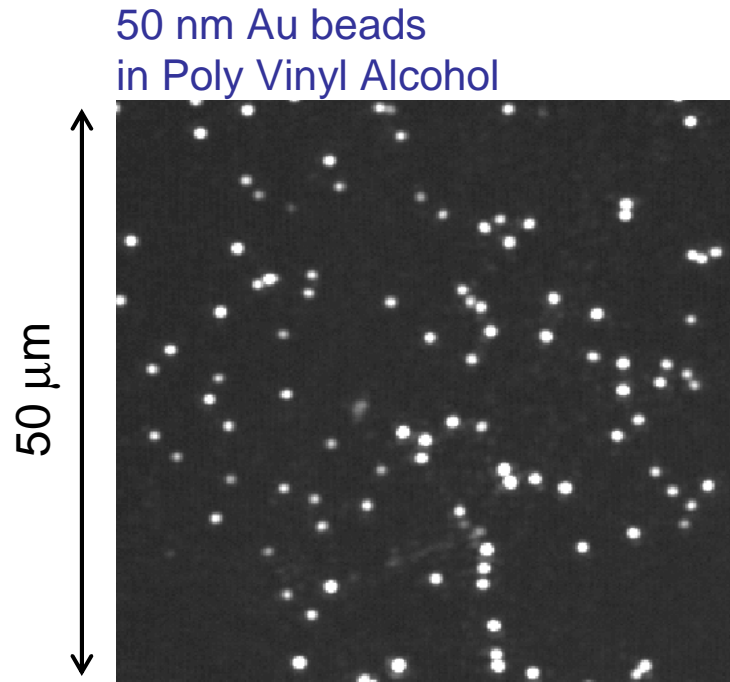
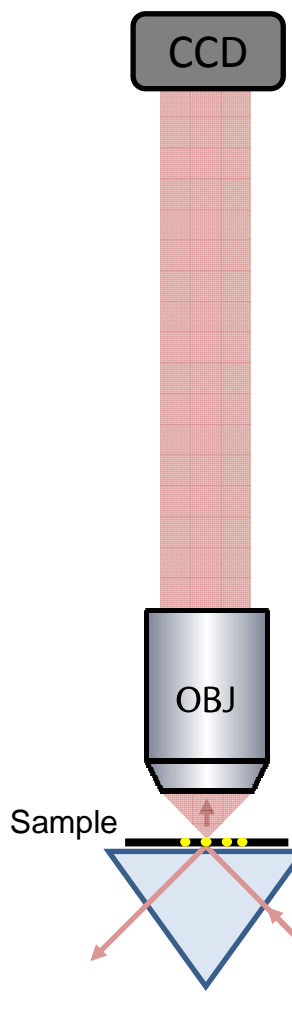
Thermoreflectance proche infrarouge avec Lentille à Immersion



Résolution moyenne 440 nm
Ouverture numérique 2.36

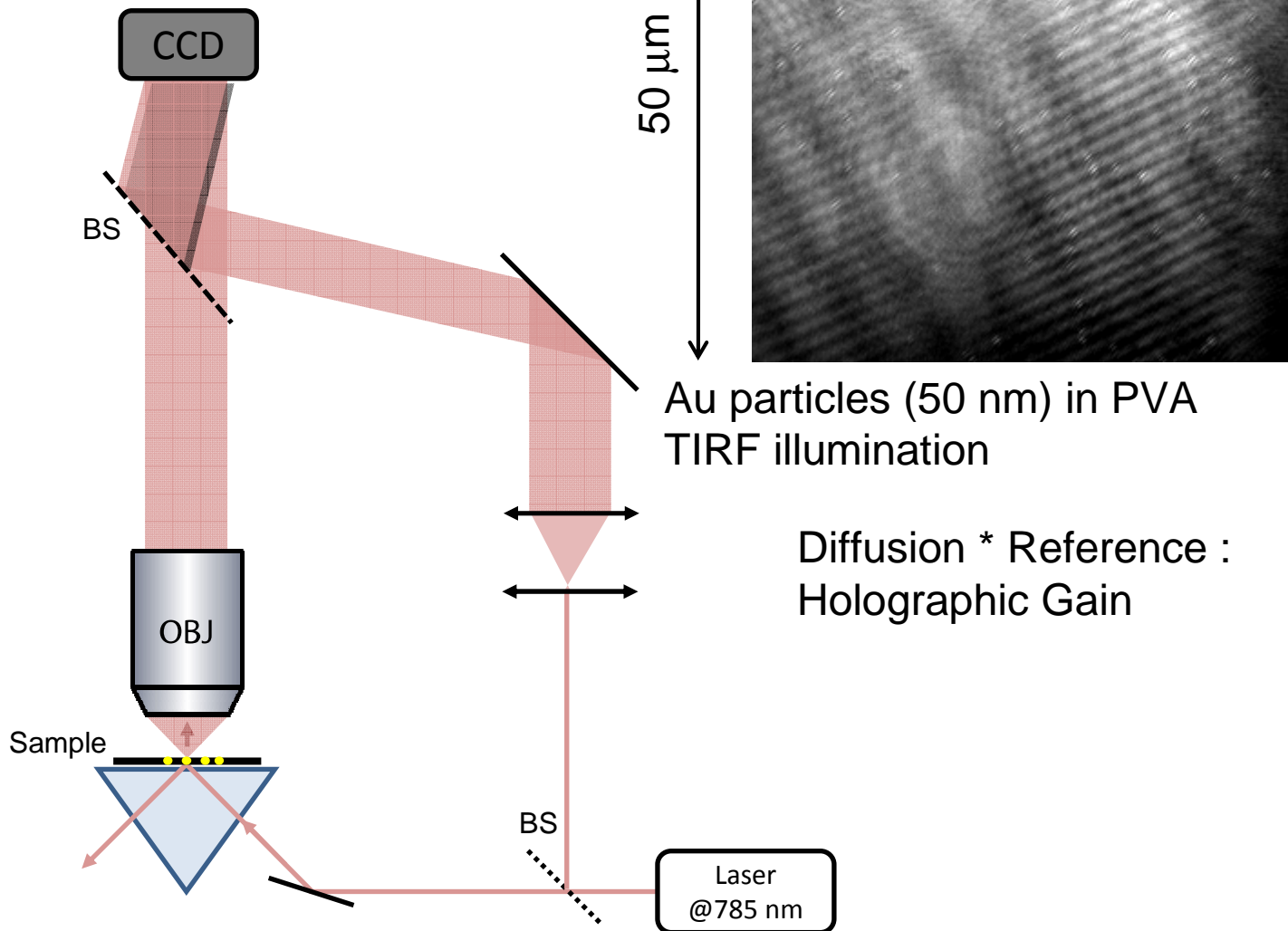


Direct detection of nanoparticles

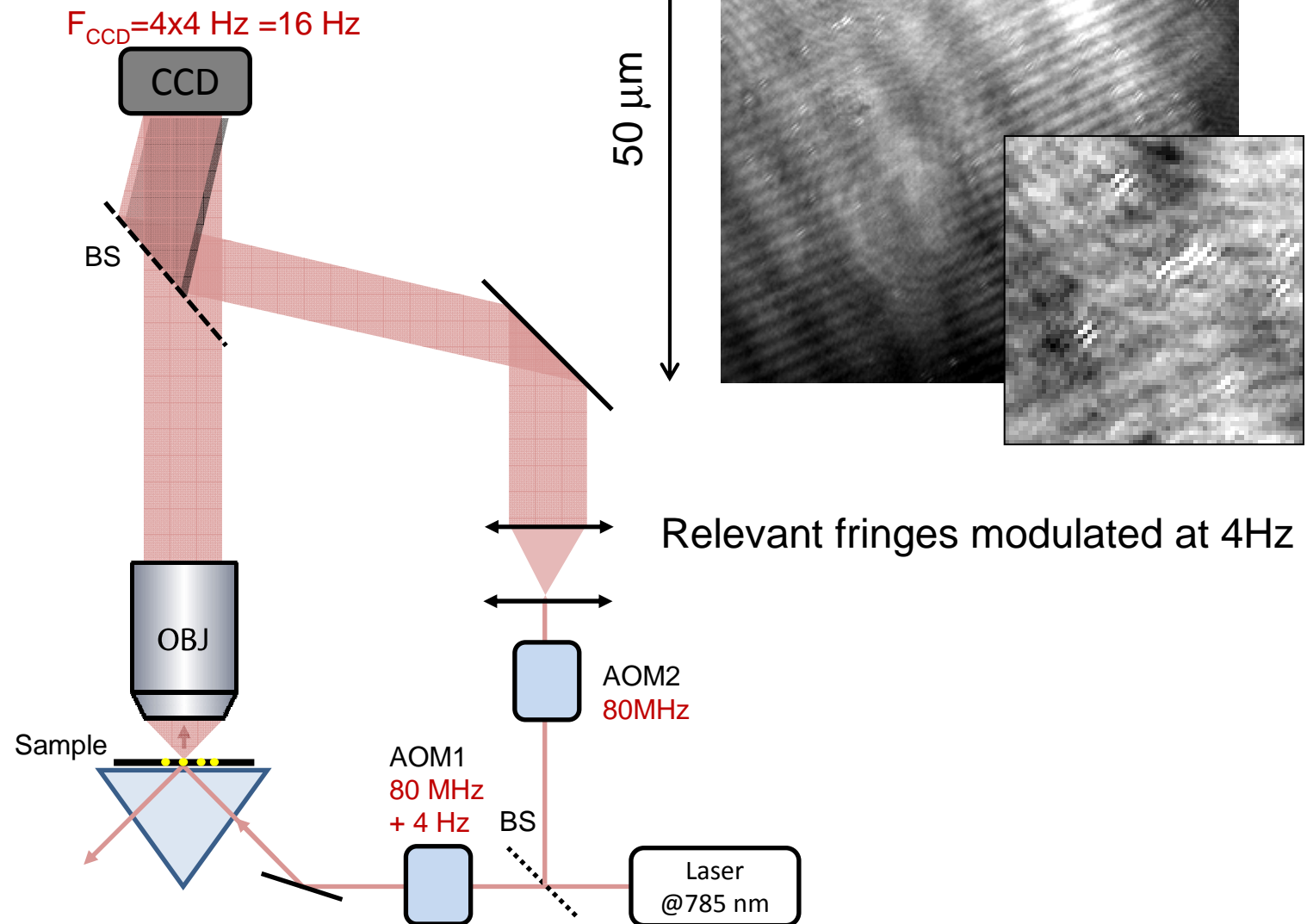


- Dark field
- Good sensitivity :
10 nm demonstrated
(E. Absil, G. Tessier, D. Fournier, M. Atlan, M. Gross,
EPJ Applied Physics)
- No selectivity (dust or other diffusers)
- No 3D

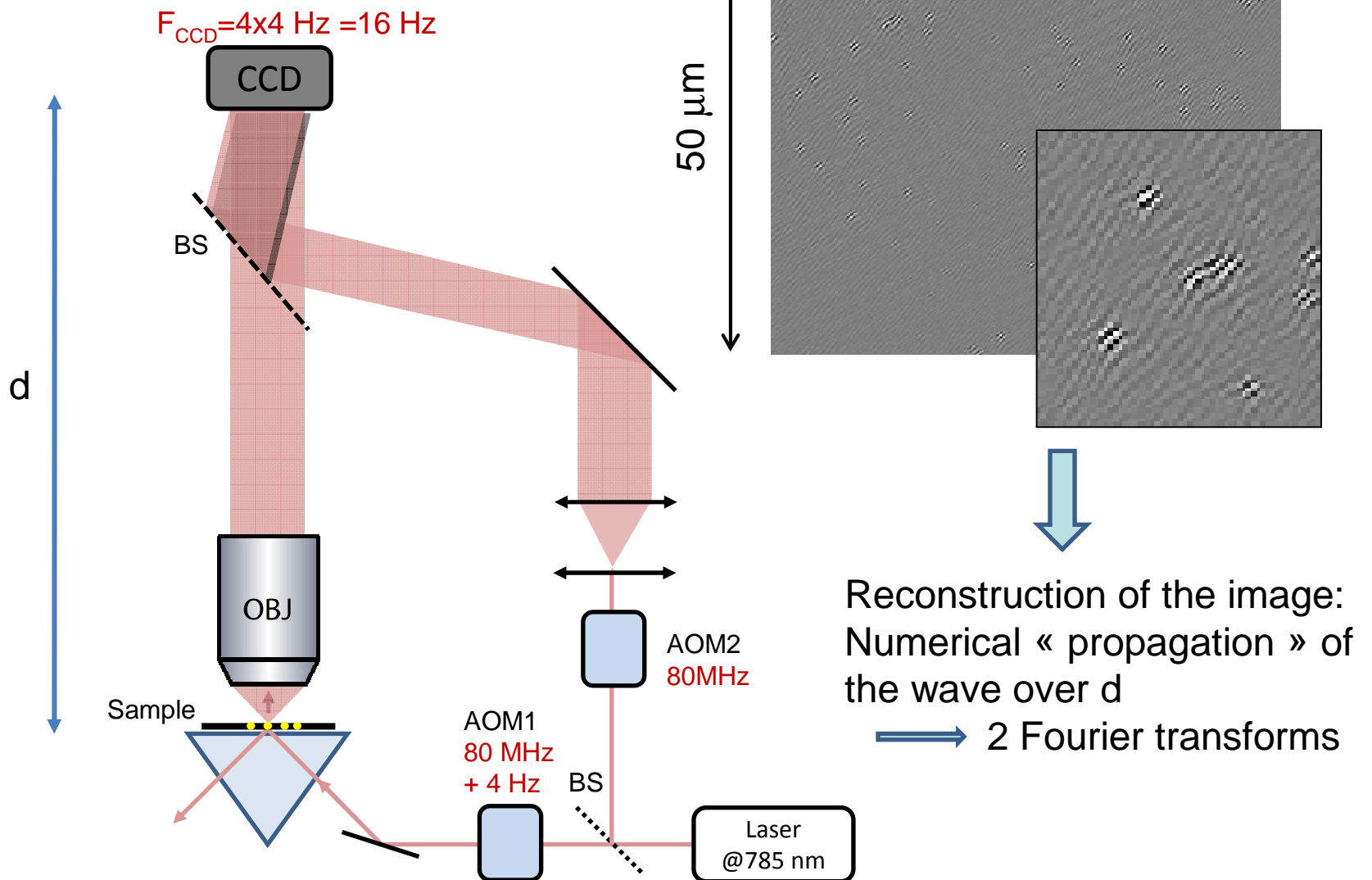
Numerical holography



Heterodyne Numerical holography



Heterodyne Numerical holography



Numerical propagation from the detector to a chosen plane

Recorded Hologram : $H(x, y, 0)$

Hologram in the k -space of wave vectors : $\tilde{H}(k_x, k_y, 0) = \text{FFT}[H(x, y, 0)]$

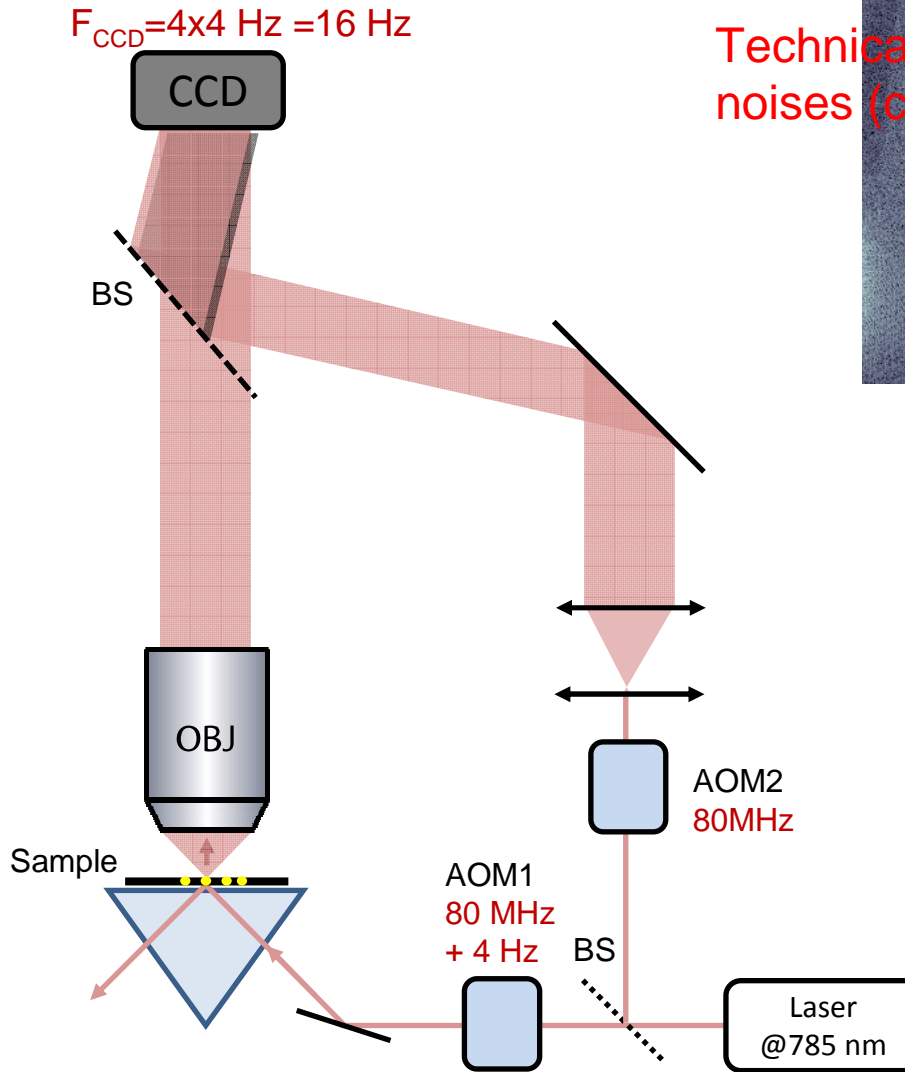
Propagation over distance z : $\tilde{K}(k_x, k_y, z) = e^{jz(k_x^2 + k_y^2)/k}$

$$\tilde{H}(k_x, k_y, z) = \tilde{K}(k_x, k_y, z) \tilde{H}(k_x, k_y, 0)$$

Reconstructed hologram in the chosen plane ($z=d$): $H(x, y, z) = \text{FFT}^{-1}[\tilde{H}(k_x, k_y, z)]$

→ 2 Fourier transforms

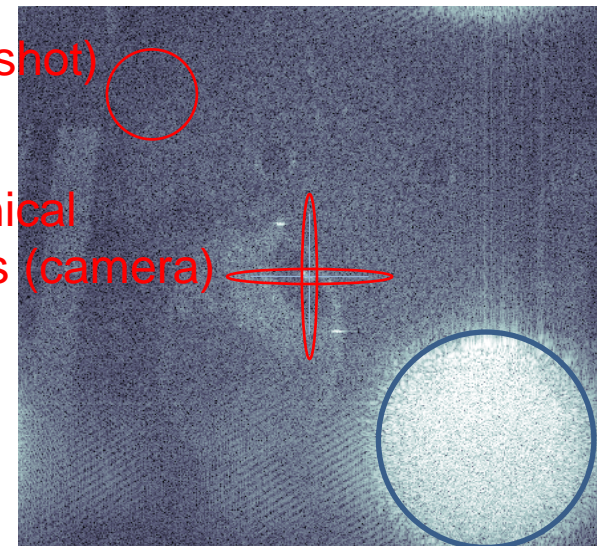
Heterodyne Numerical holography



2D Fourier transform of the hologram

Photon (shot)
noise

Technical
noises (camera)



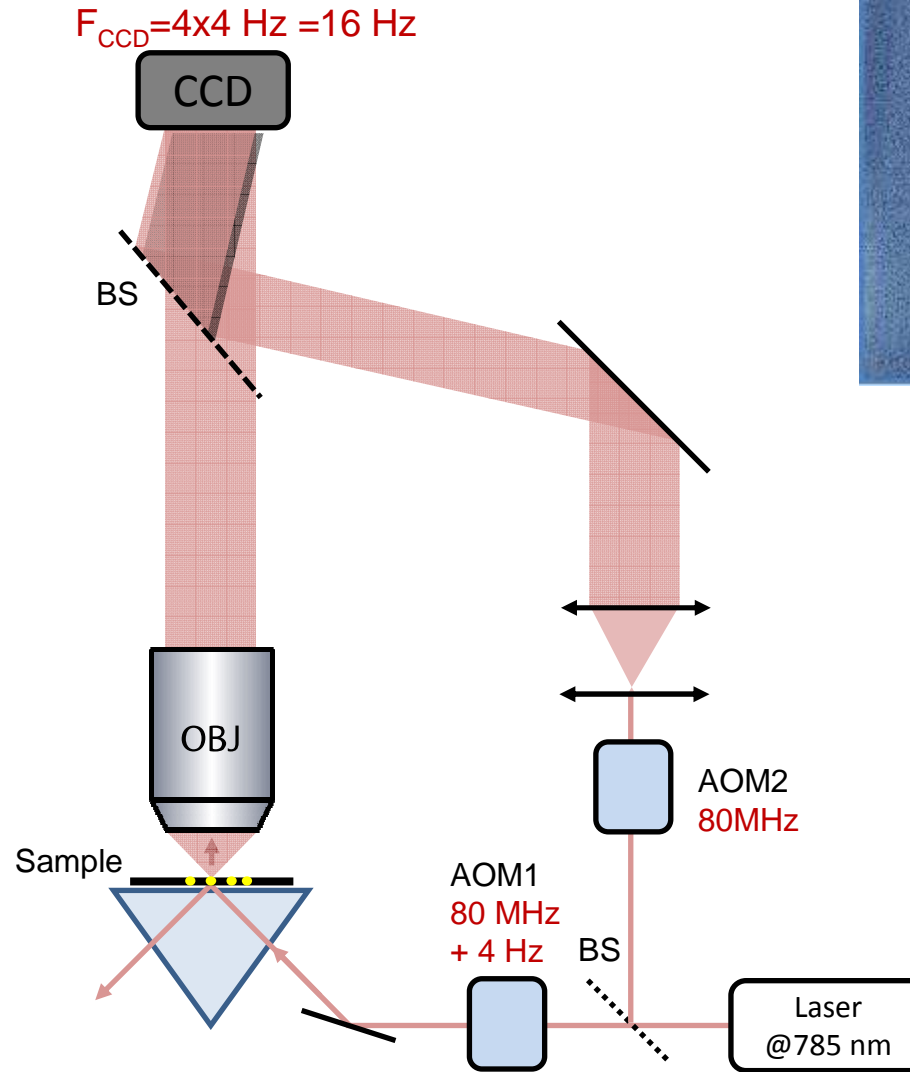
Relevant signal:
Exit pupil of the objective

1st Fourier transform :

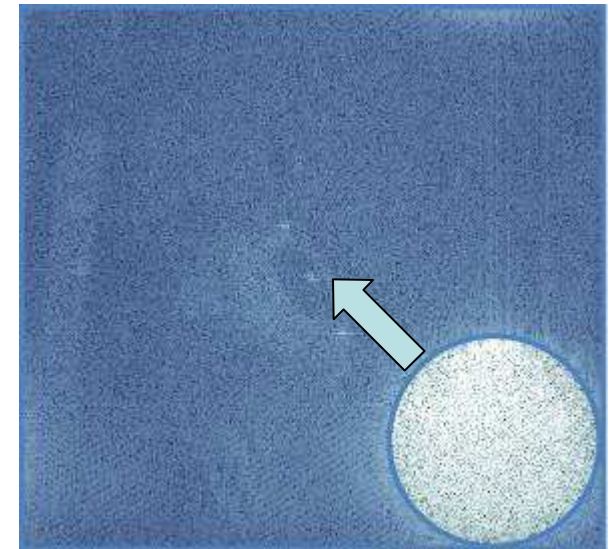


Wave vectors, k

Heterodyne Numerical holography



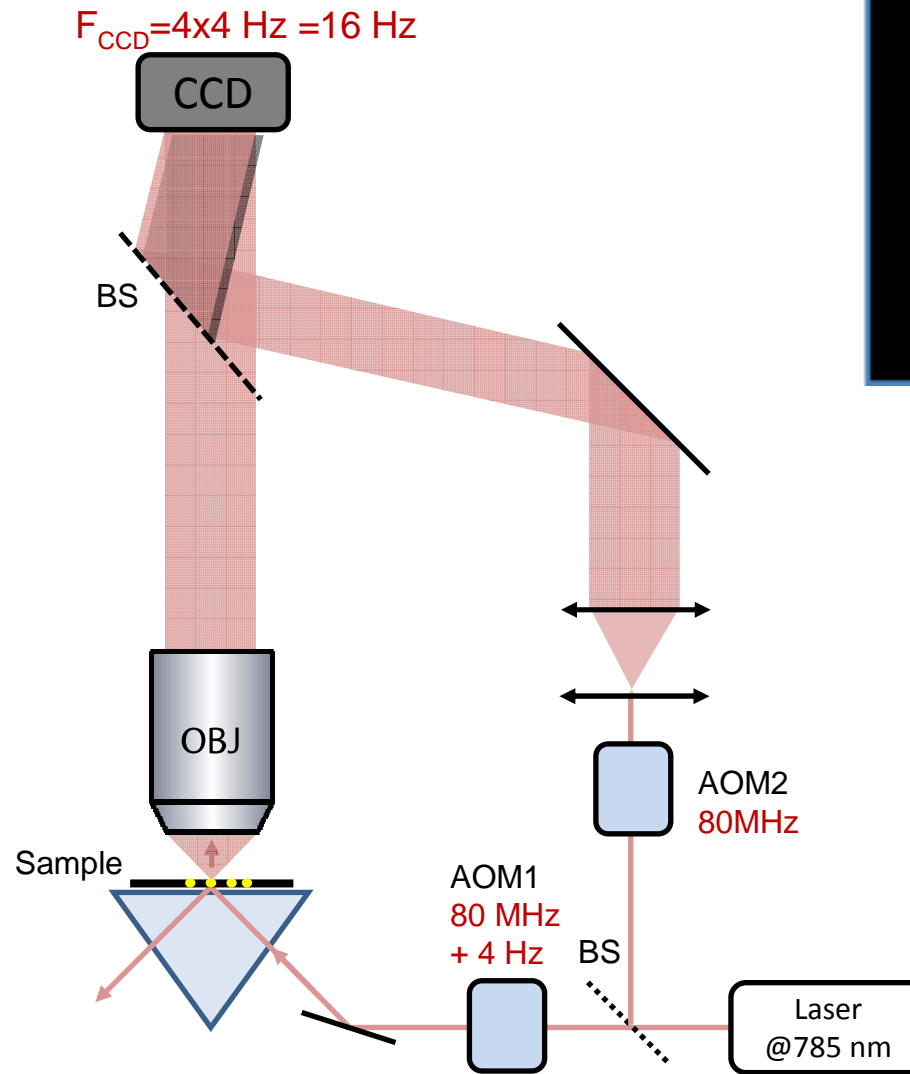
2D Fourier transform of the hologram



Relevant signal:
Exit pupil of the objective

Filtering in the wave
vectors space

Heterodyne Numerical holography



2D Fourier transform of the hologram



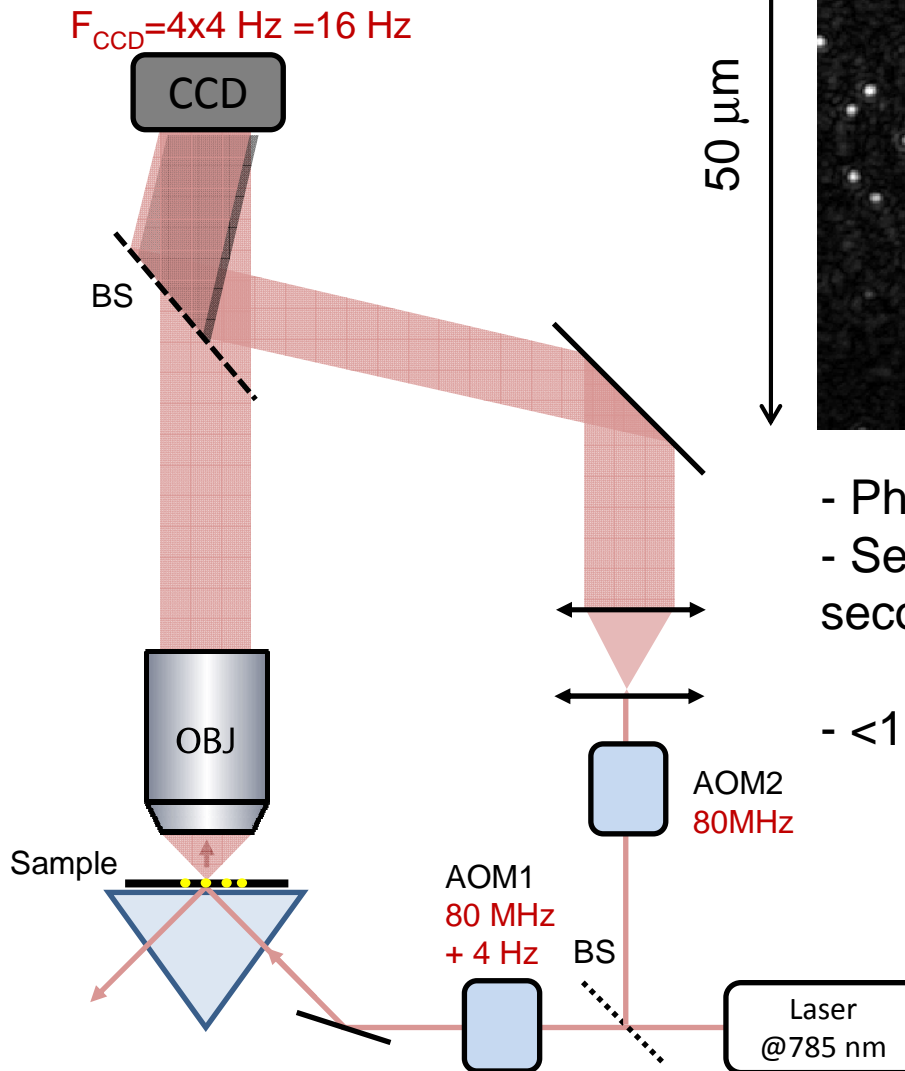
Relevant signal:
Exit pupil of the objective

Filtering in the wave
vectors space

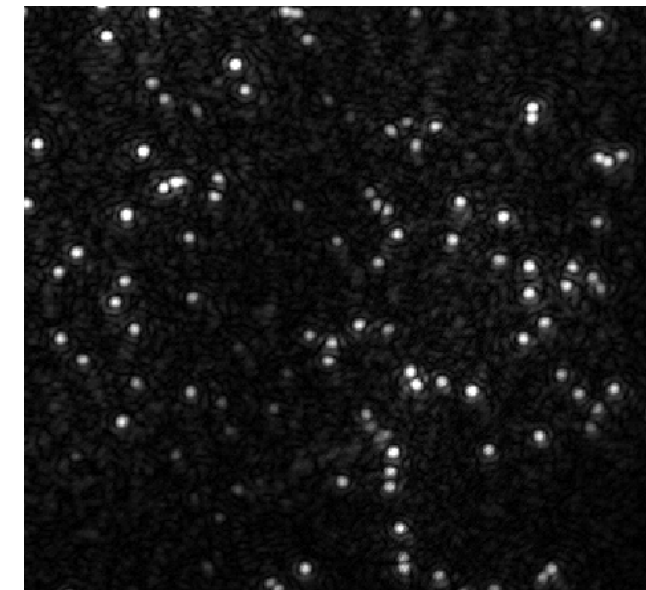


2nd Fourier transform

Heterodyne Numerical holography



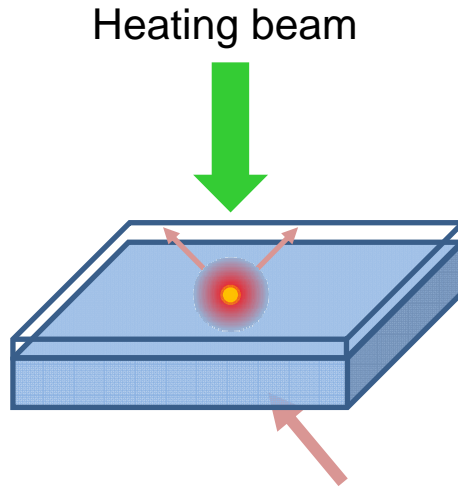
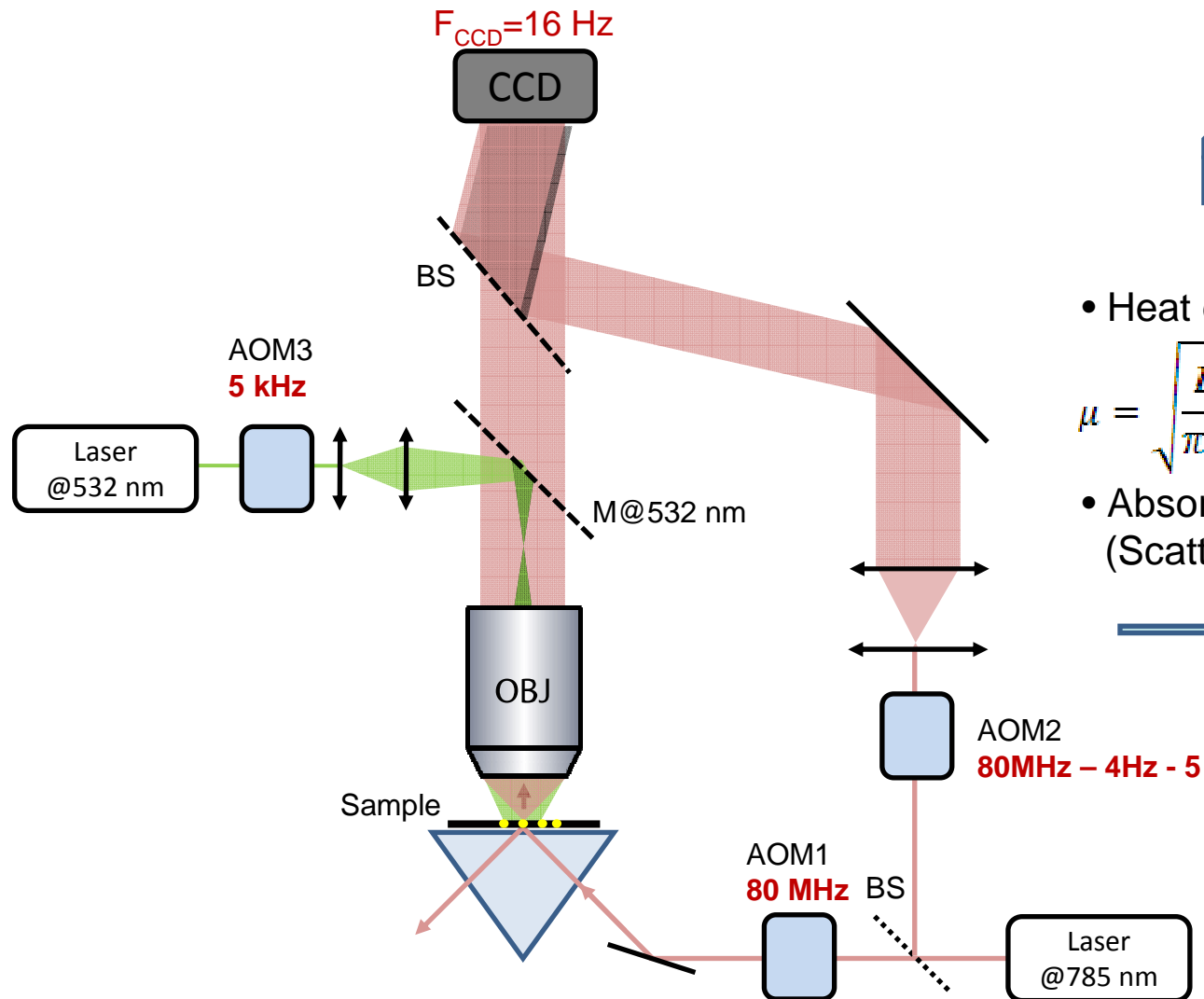
Reconstructed image (50 nm Au beads)



- Photon-noise limited detection¹
- Sensitivity¹ : 1 photon per second per pixel
- <10 nm

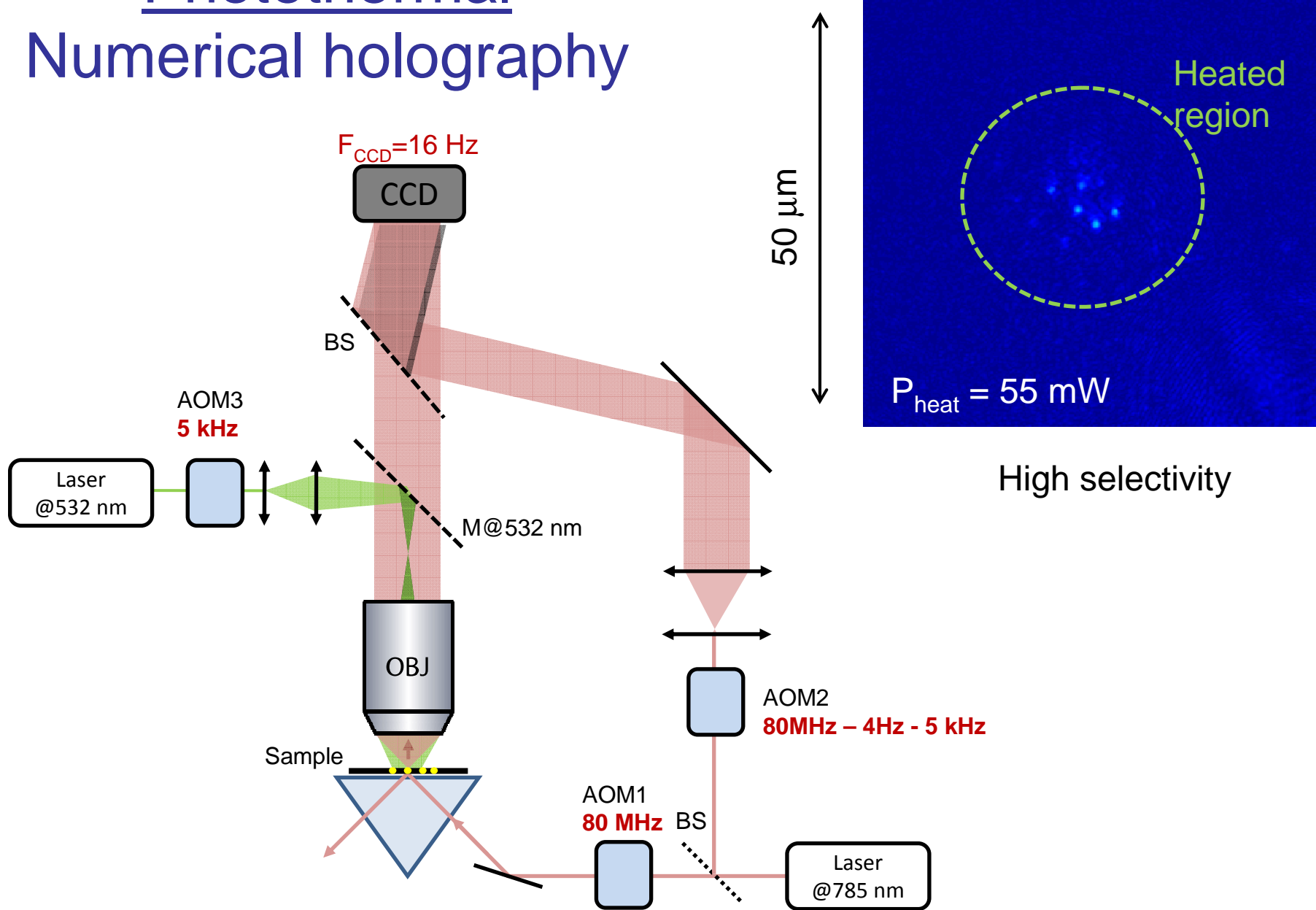
¹ M. Atlan , M. Gross, E. Absil, Opt. Lett. 32, 1456 (2007)
M. Gross, M. Atlan, Opt. Lett. 32, 909 (2007)

Photothermal Numerical holography

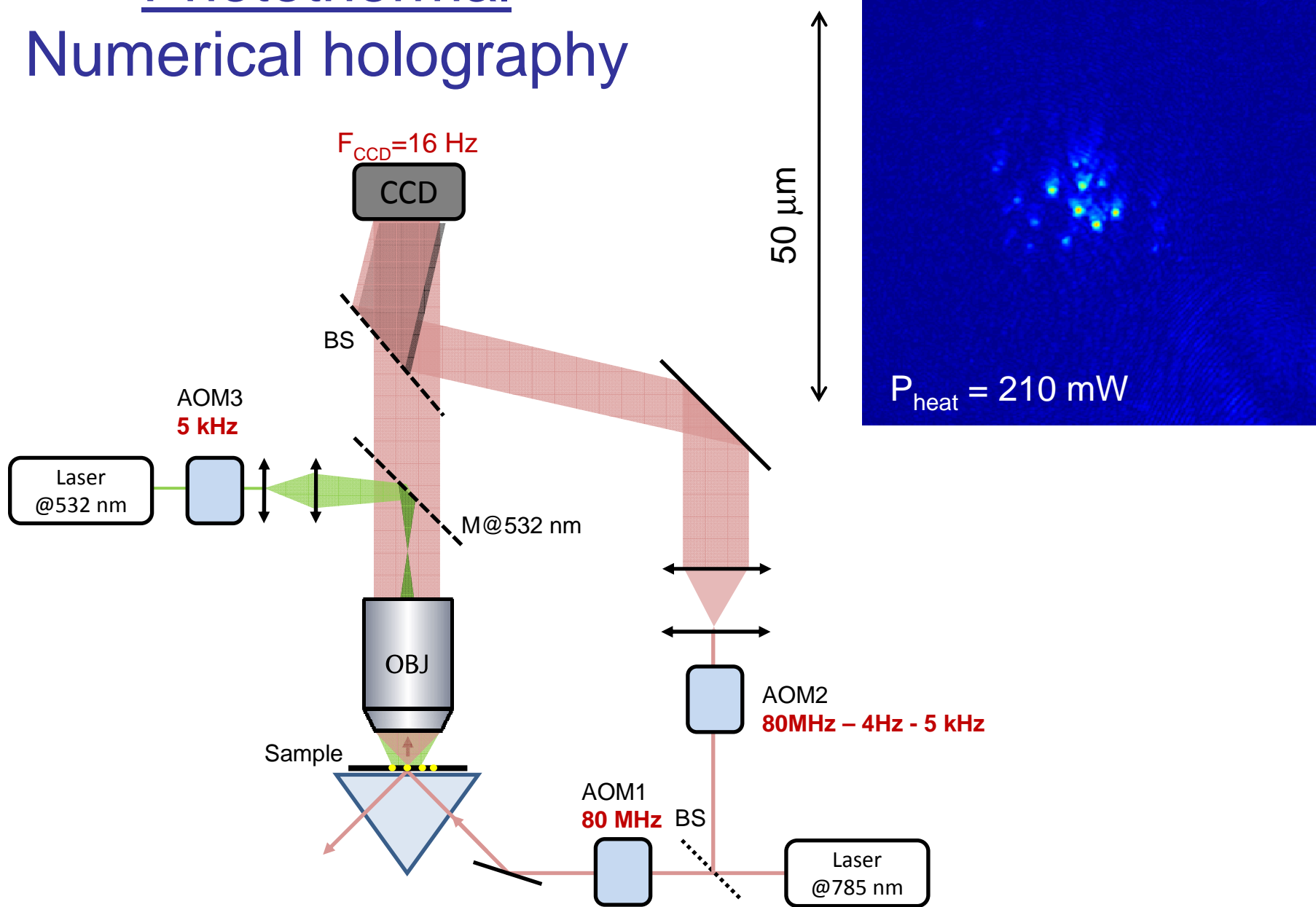


- Heat diffusion around the sphere :
$$\mu = \sqrt{\frac{D}{\pi F}} \approx 7 \text{ } \mu\text{m at 5 kHz} \gg 50 \text{ nm !}$$
 - Absorption decreases as d^3
(Scattering decreases as d^6)
- Smaller particles ?

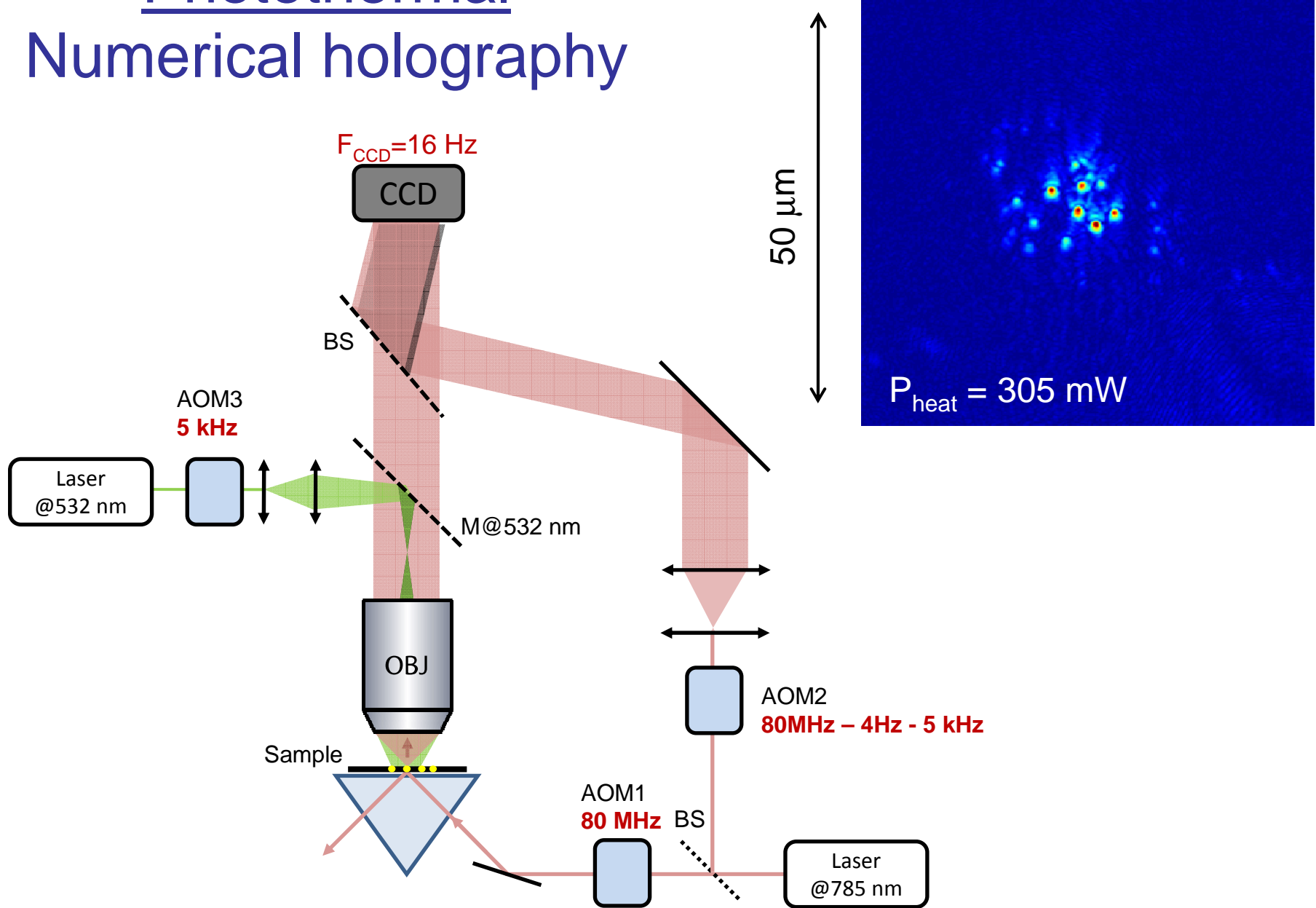
Photothermal Numerical holography



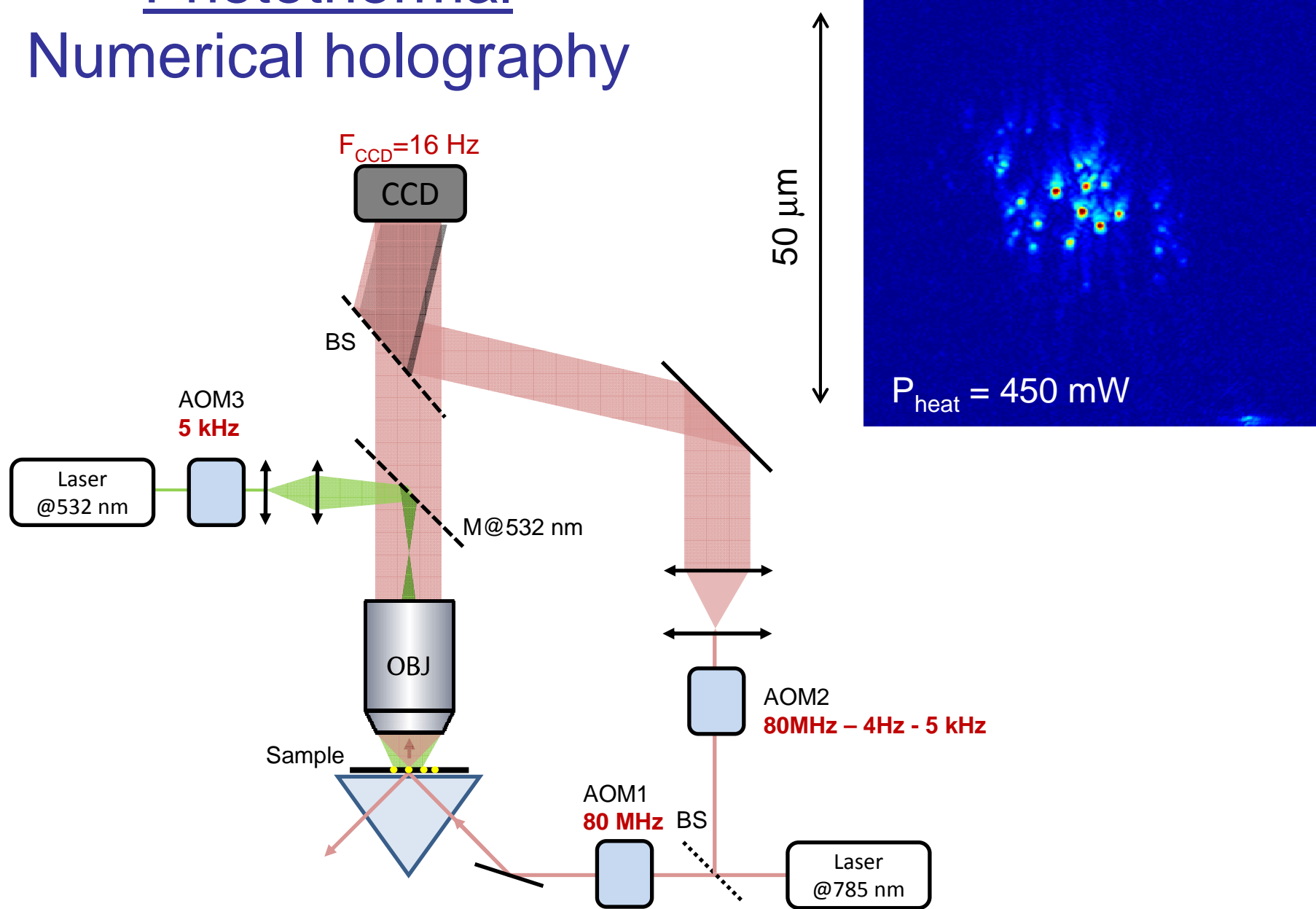
Photothermal Numerical holography



Photothermal Numerical holography

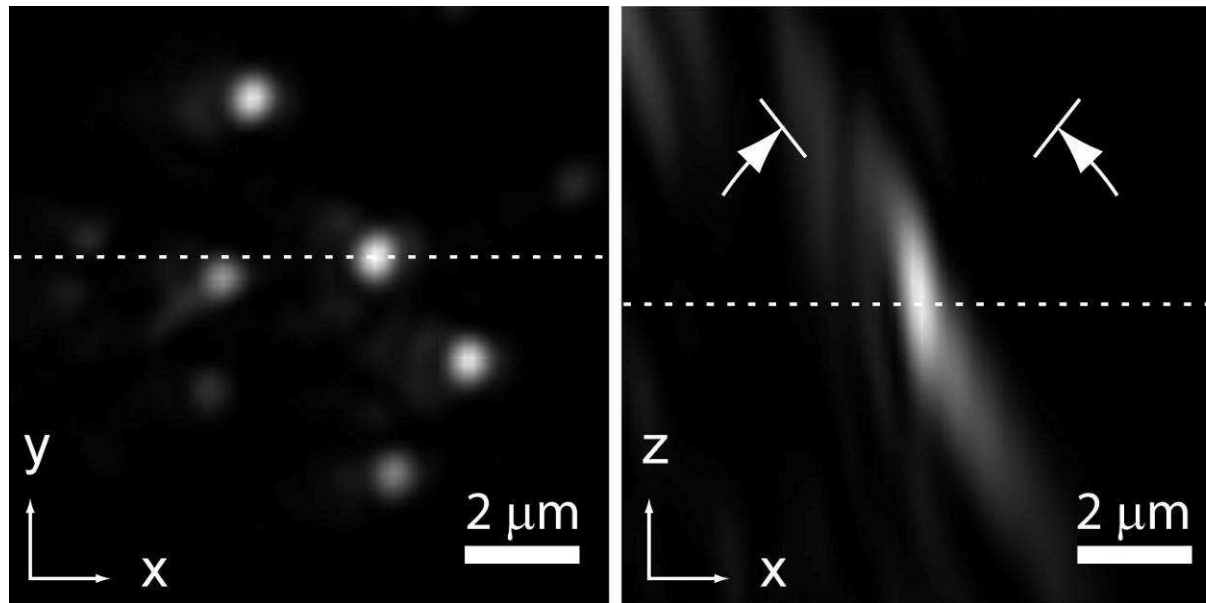


Photothermal Numerical holography

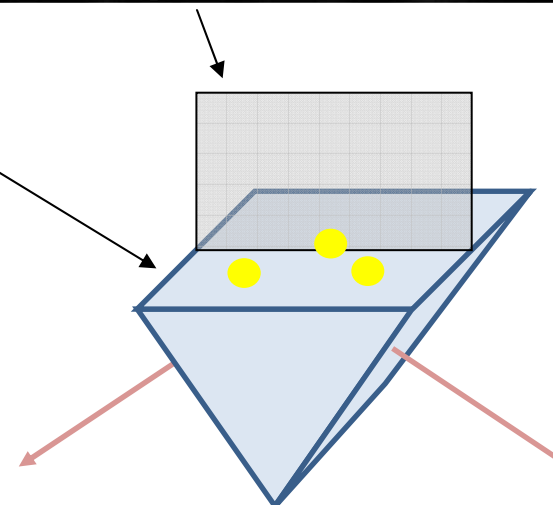


E.Absil, Optics Express (2009)

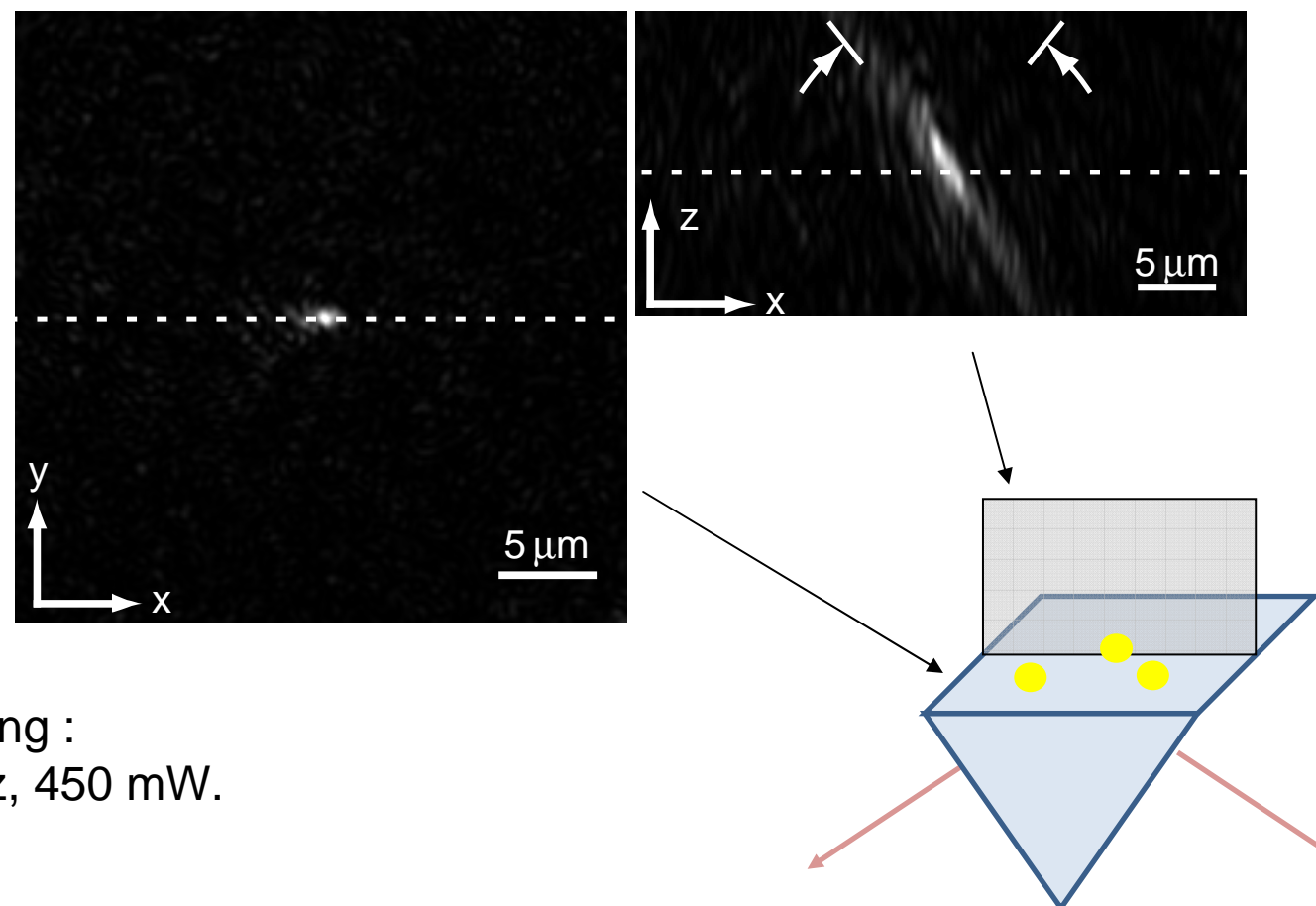
50 nm particles



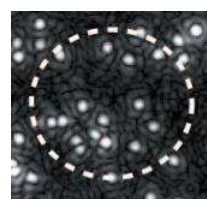
Heating :
5 kHz, 450 mW.



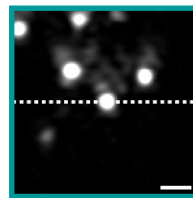
10 nm particles



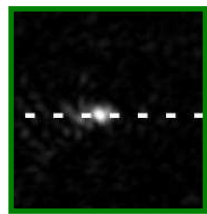
Comparison of the signals



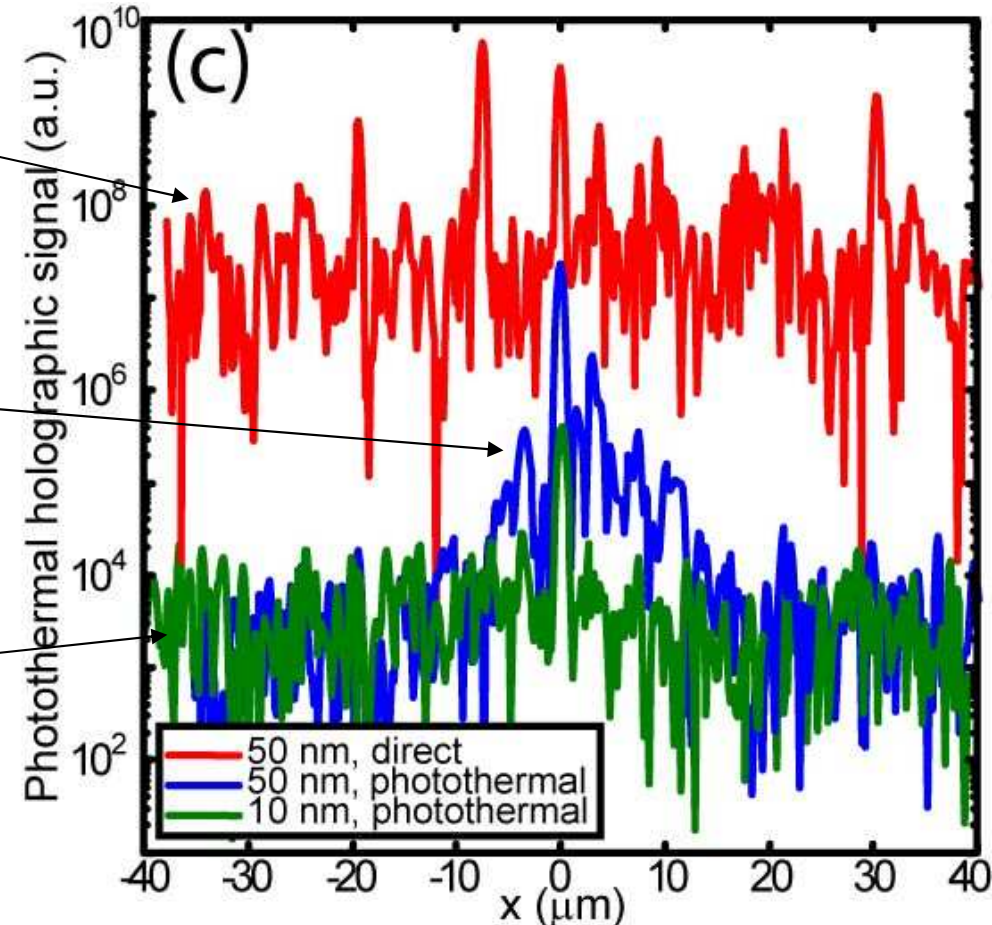
50 nm,
Non photothermal



50 nm,
Photothermal

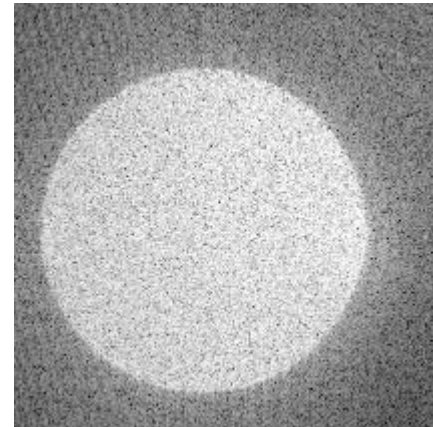
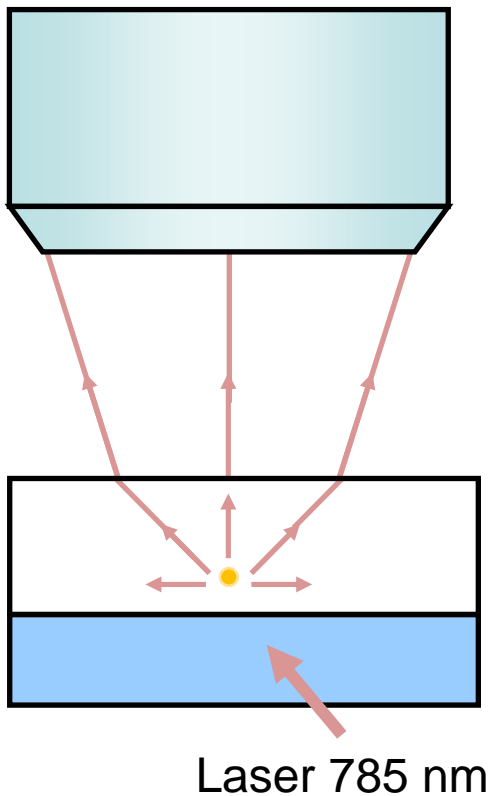


10 nm,
Photothermal



- The signal (scattering) is lower in photothermal mode
- BUT the signal to noise ratio is 1000 times higher for 50 nm beads

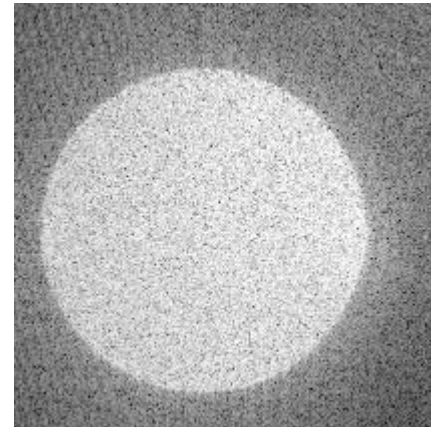
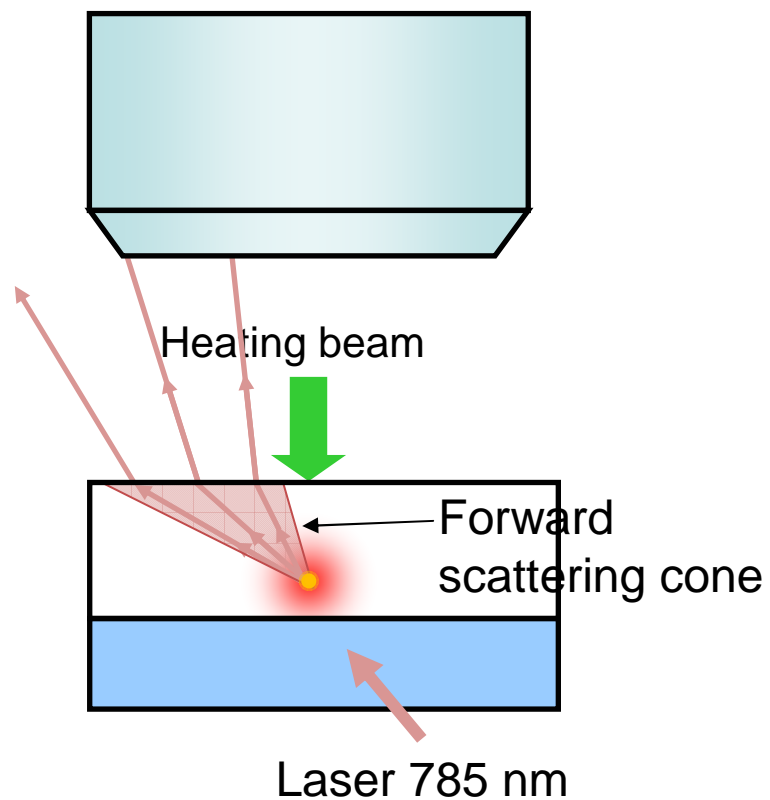
Reconstruction at the
exit pupil of the objective :
 k wave vectors



50 nm beads,
non photothermal

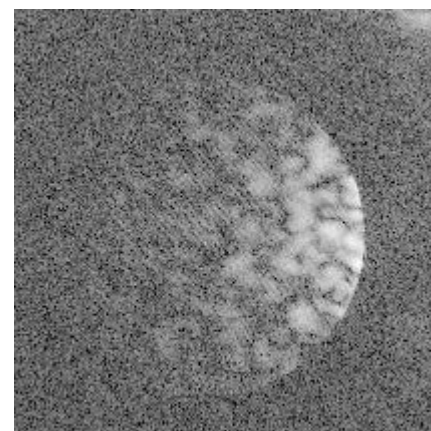
Quasi isotropic
scattering

Reconstruction at the
exit pupil of the objective :
 k wave vectors



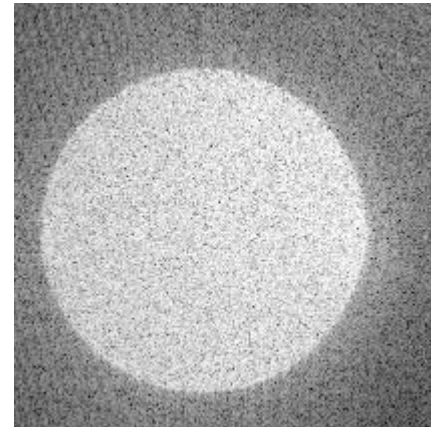
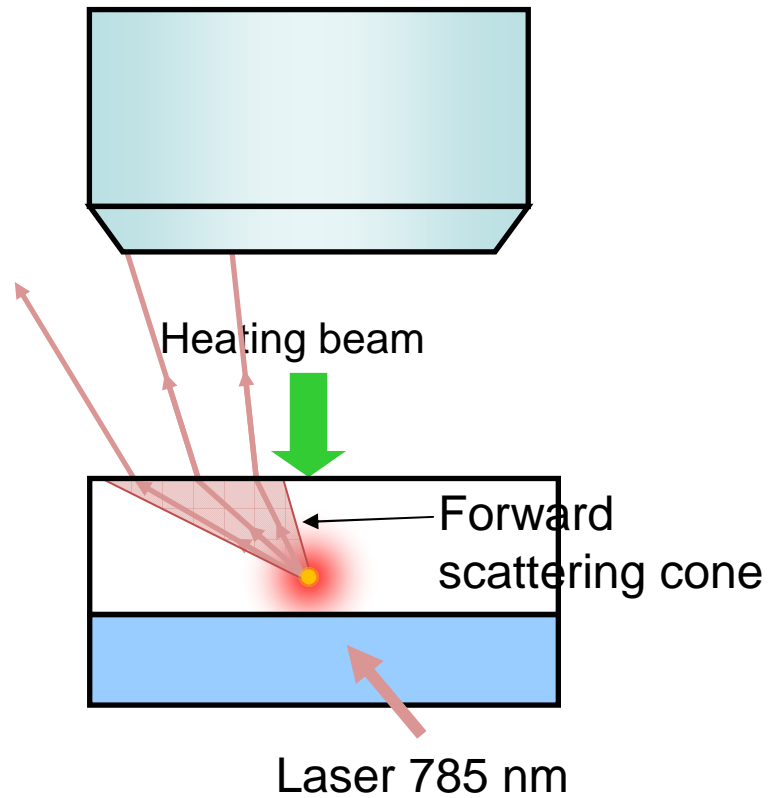
50 nm beads,
non photothermal

Quasi isotropic
scattering

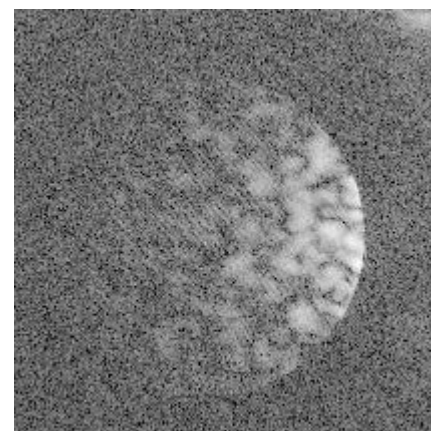


50 nm beads,
photothermal

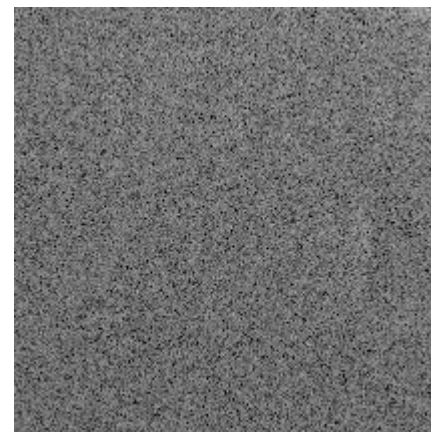
Reconstruction at the
exit pupil of the objective :
 k wave vectors



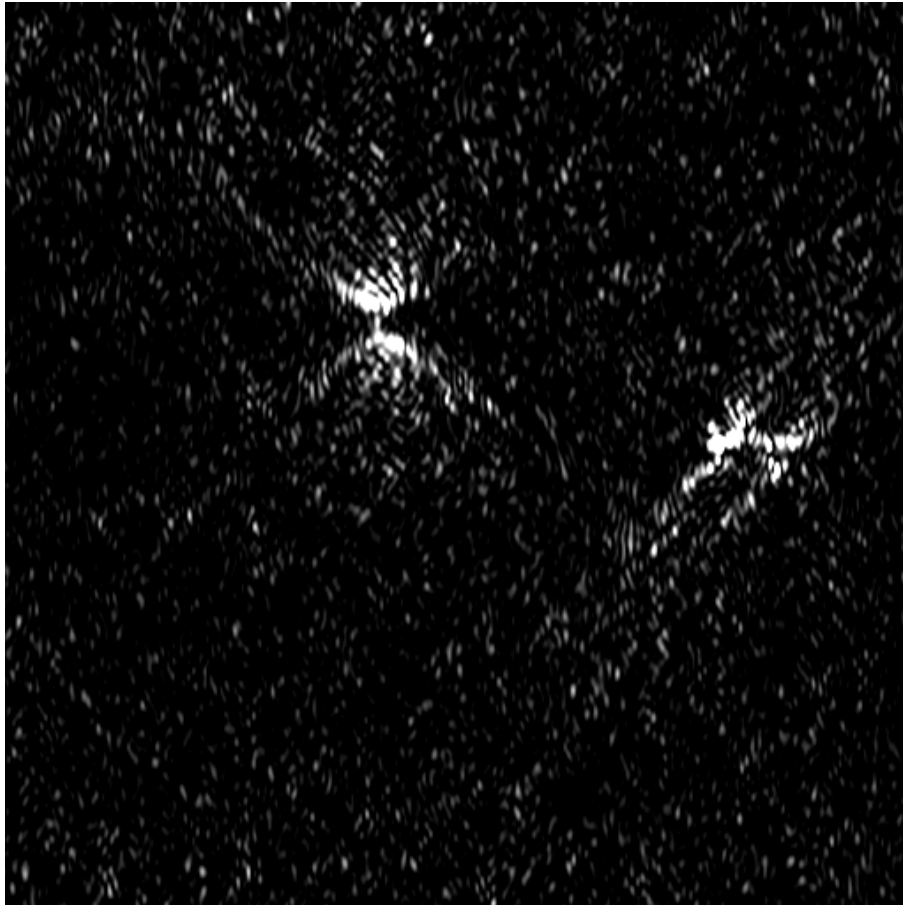
50 nm beads,
non photothermal



50 nm beads,
photothermal

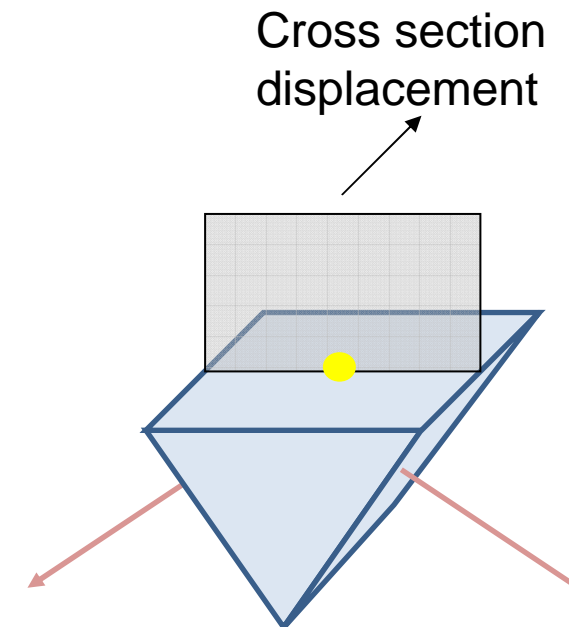


10 nm beads,
photothermal



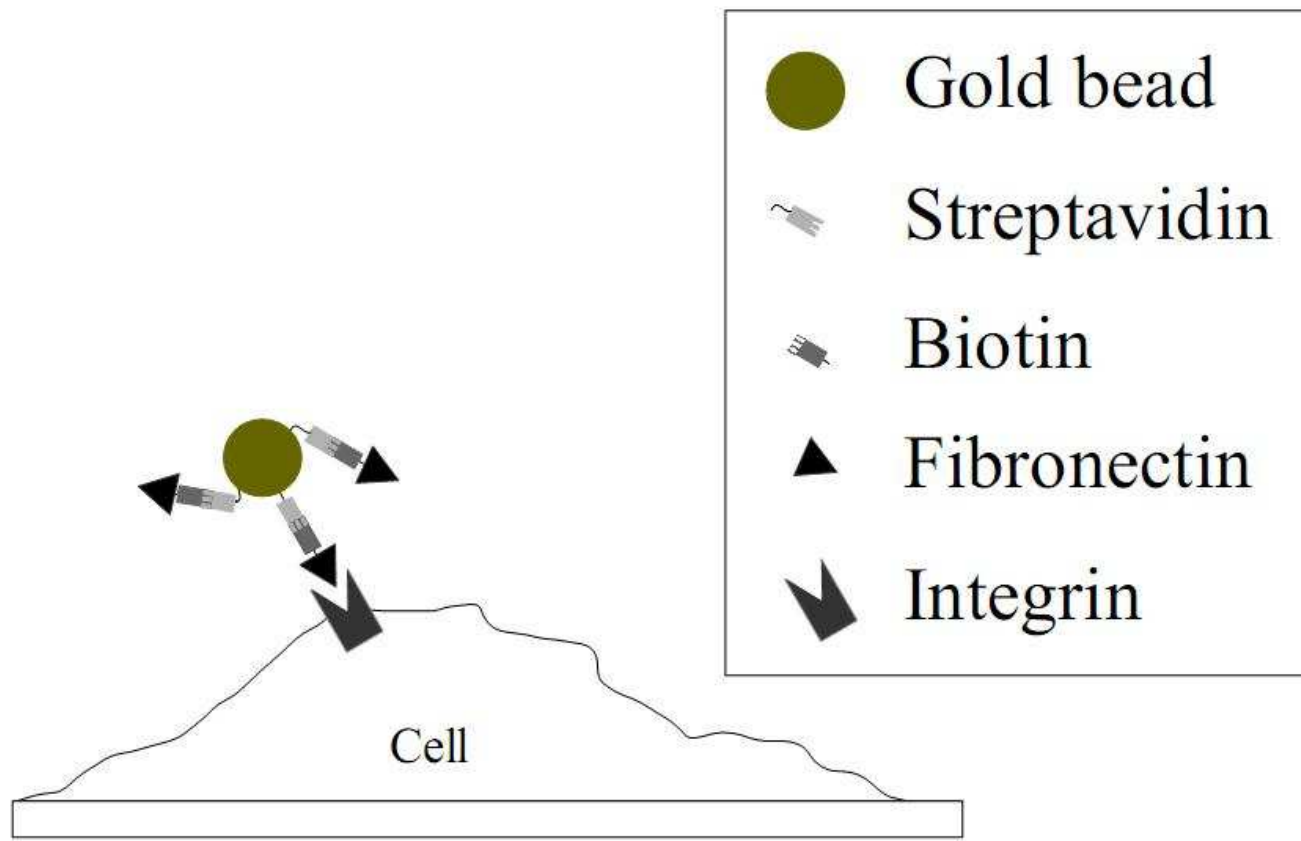
10 nm beads

Different scattering from gold beads and dust
Film reconstructed from a single hologram (acquisition < 5s)

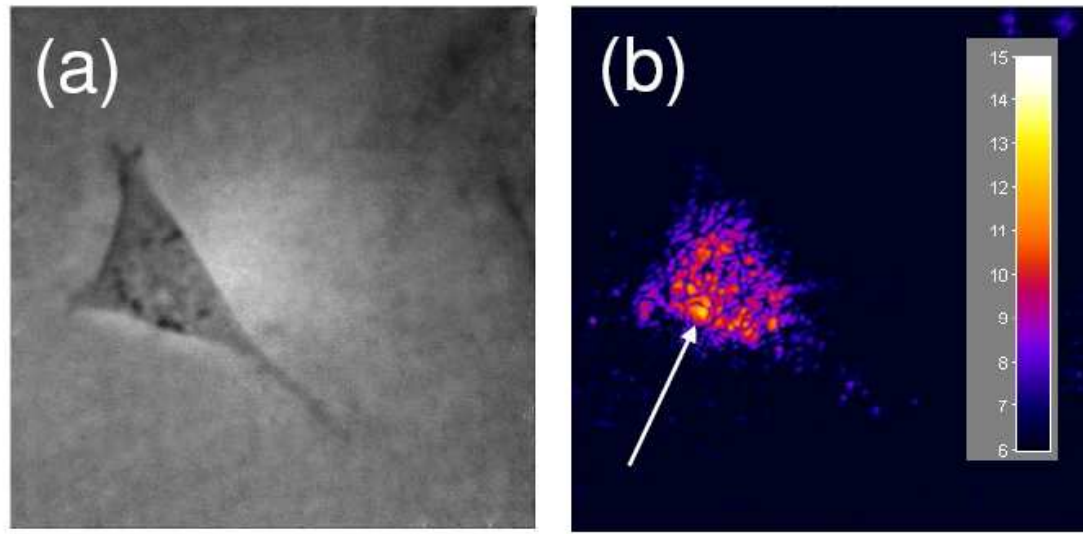


Sample preparation

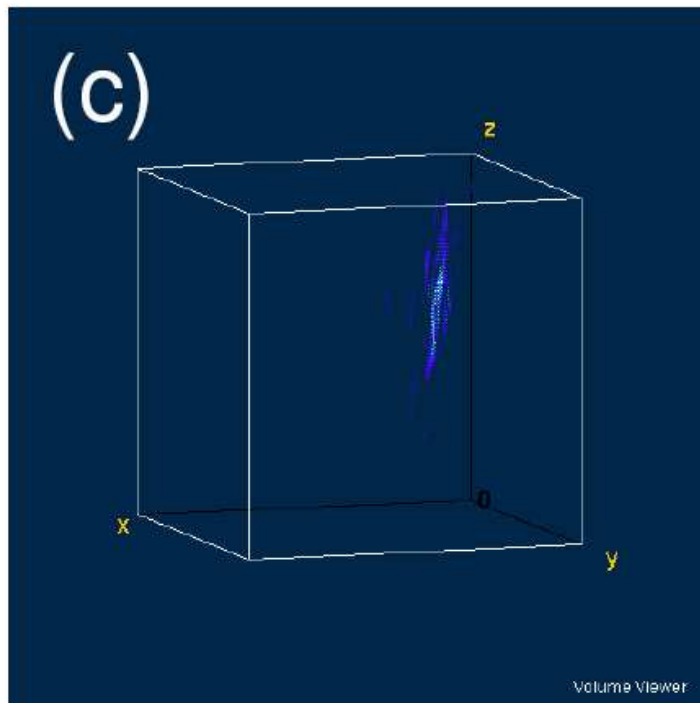
Sample: 3T3 mouse fibroblast + 40 nm gold particles

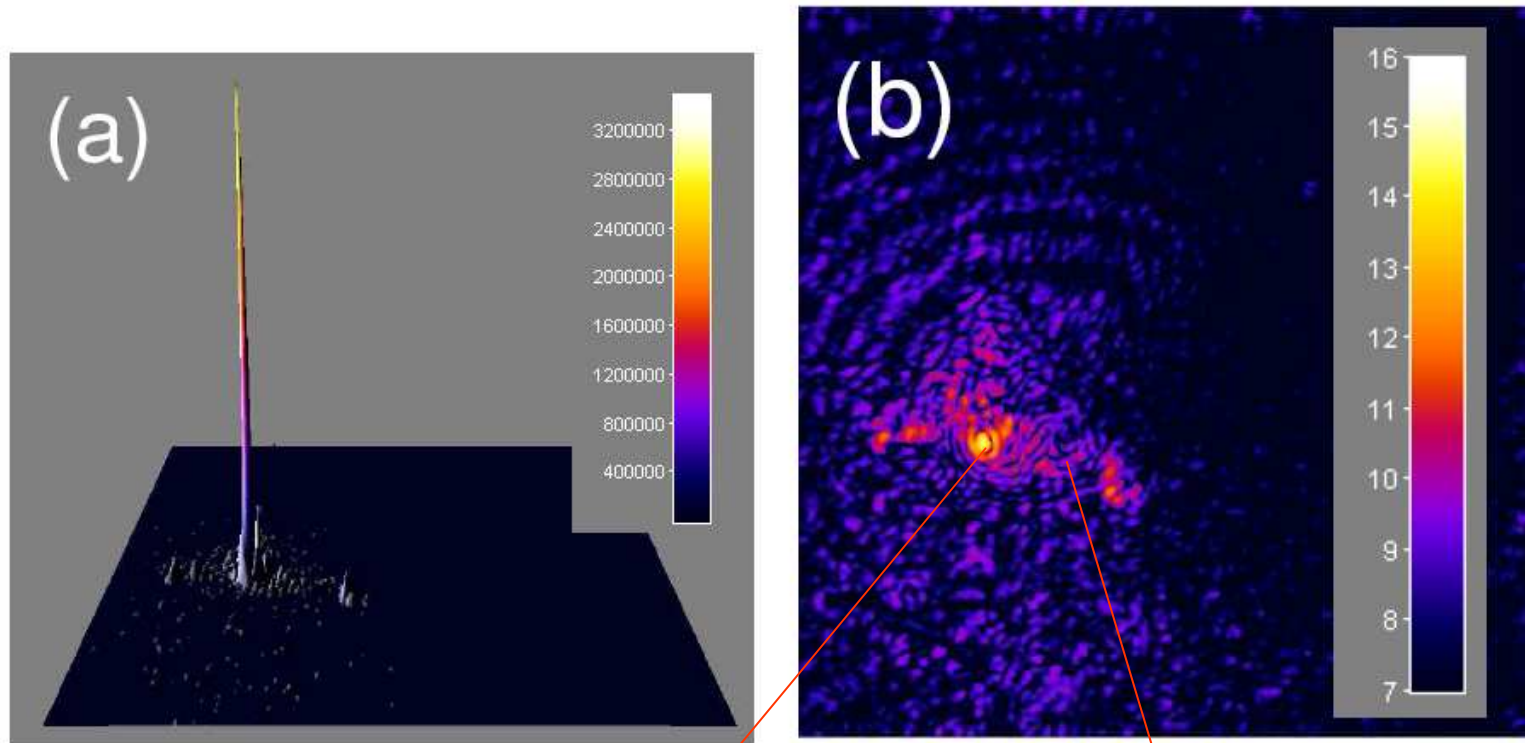


(Philippe Bun, Maïté Coppey-Moisan: Département de Biologie Cellulaire, Institut Jacques Monod, Paris.)

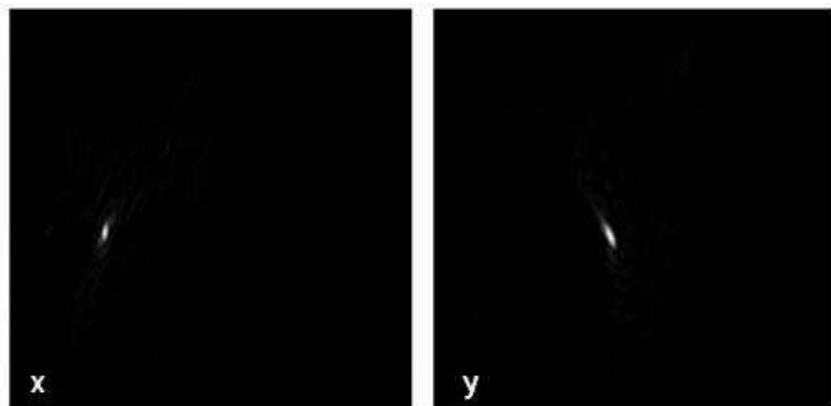


Bille d'or 40 nm
Accumulation 32 images
(env. 2s)

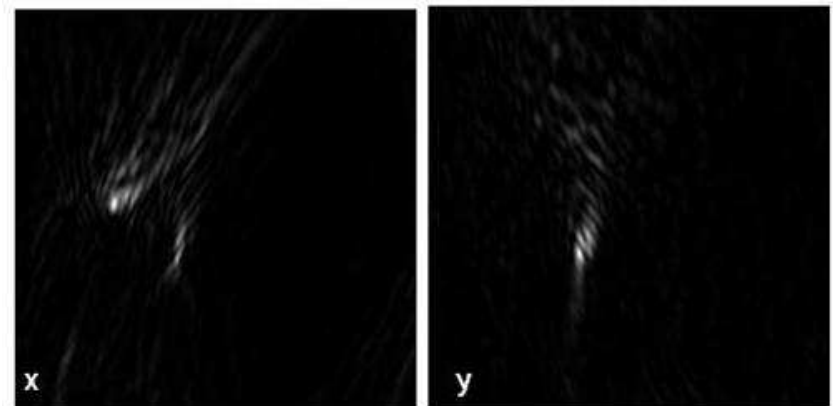




Coupes dans la reconstruction 3D :

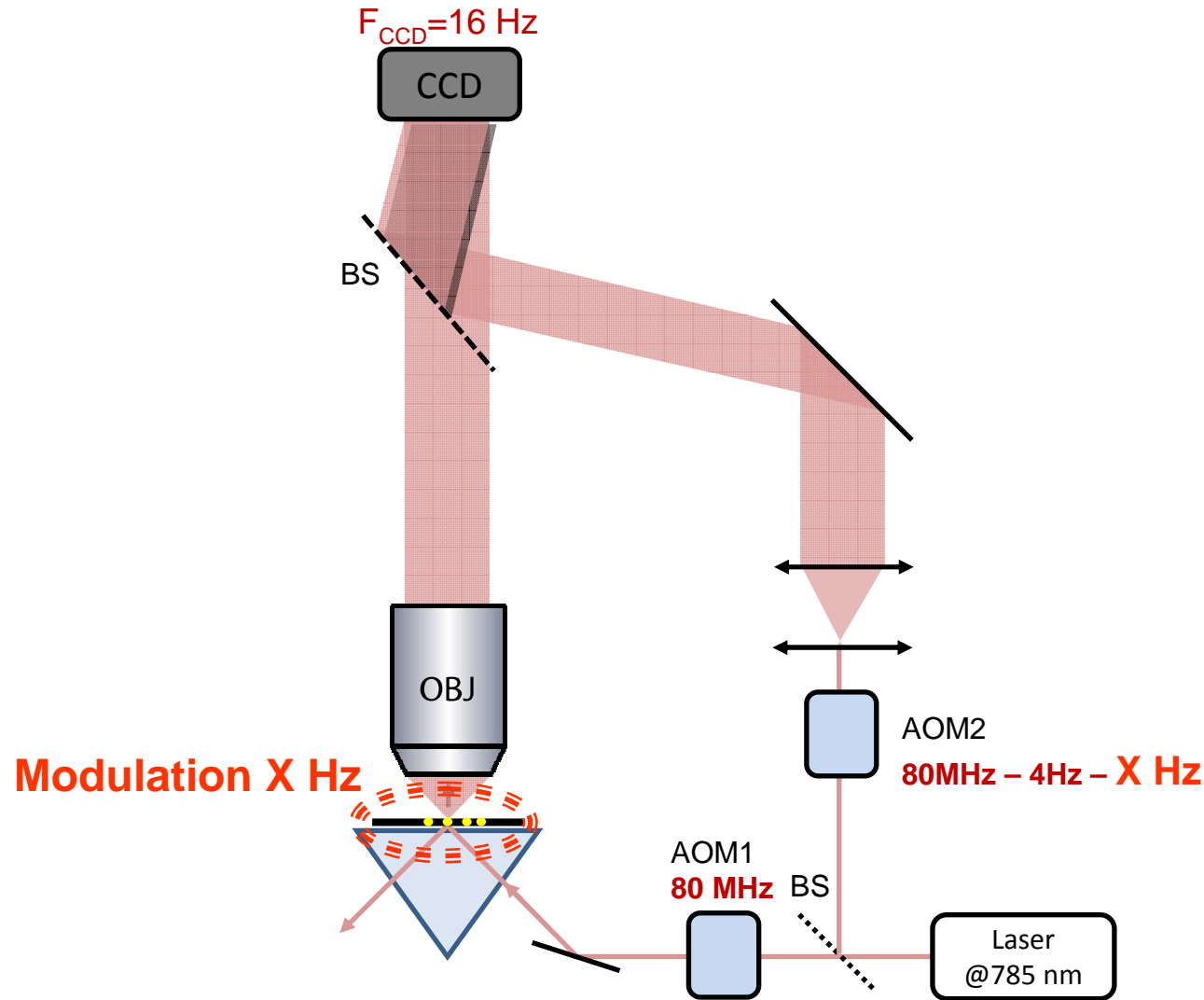


Bille



cellule

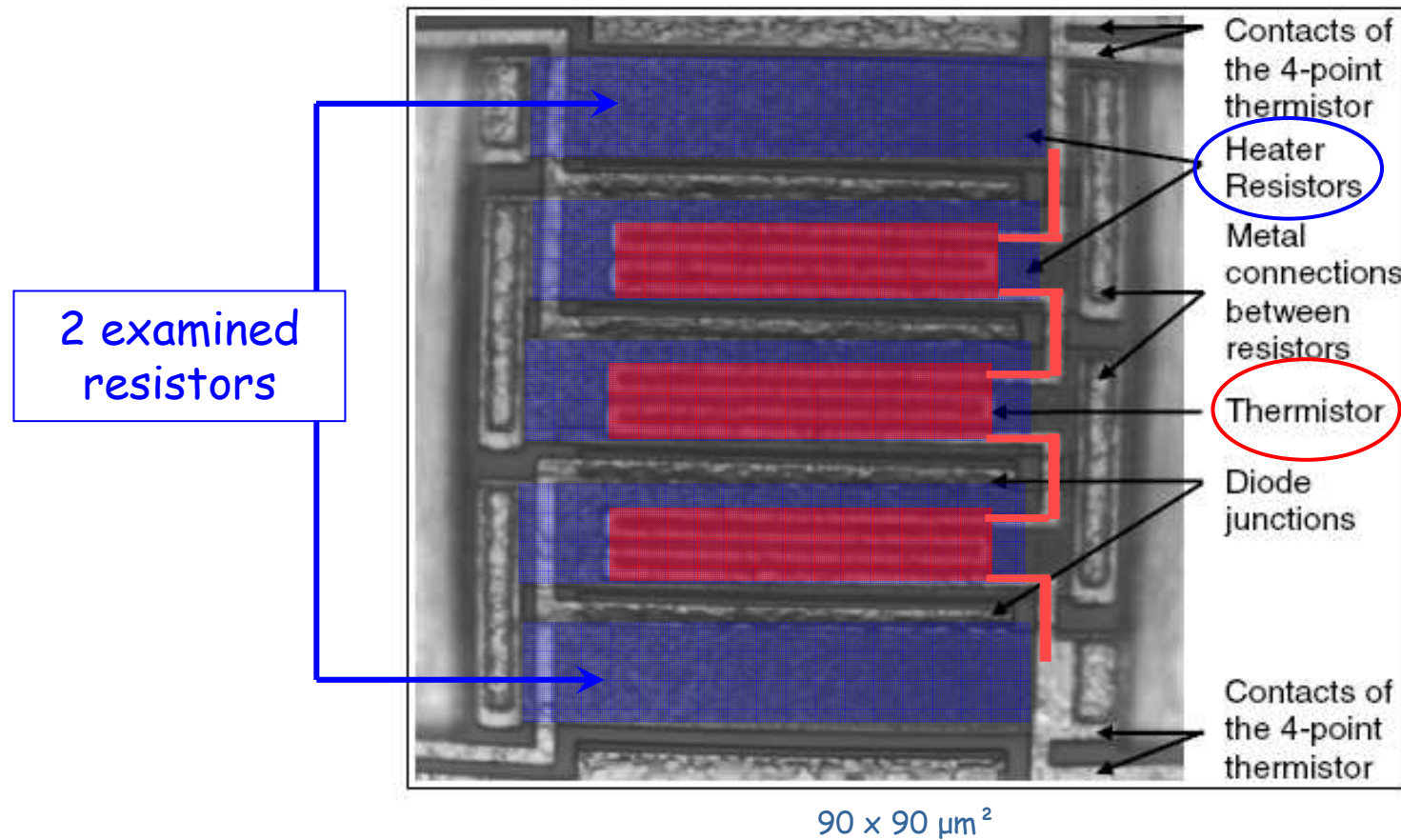
D'autres types de modulations ?





Test-Sample

Integrated circuit consisting of 5 resistors: $R_{Heat} \approx 500 \Omega$

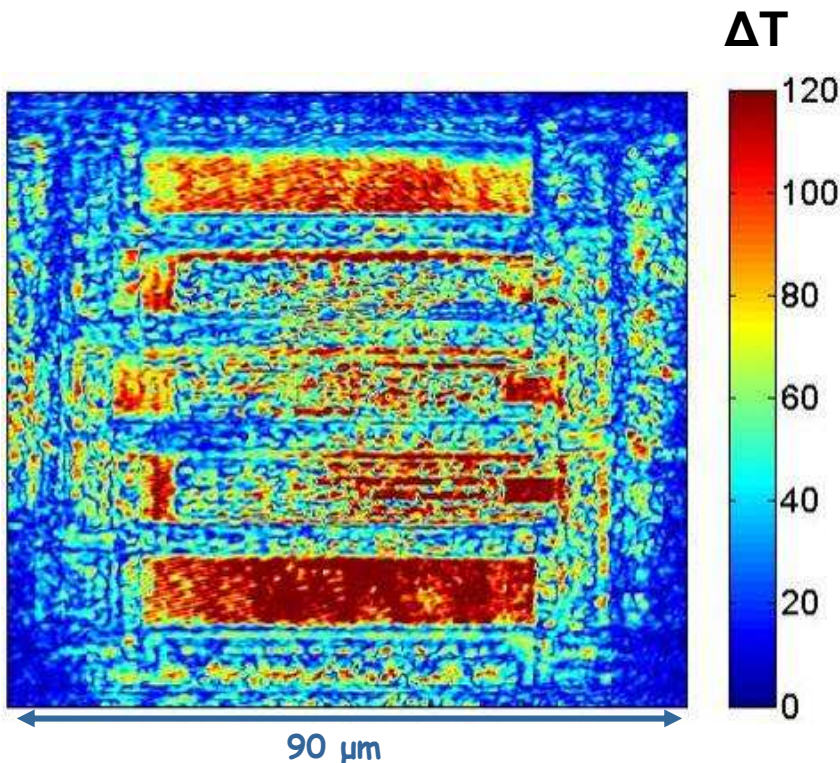




Imaging and Calibration

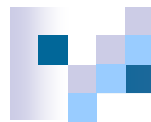
$$\Delta f = \frac{1}{4} \cdot f_{CCD} + F_H$$

$$\text{Heater ON : } F_{VAR} = F_H - \text{const.}$$



- Accumulation time : 15 sec
- Definition: 410×410 pixel

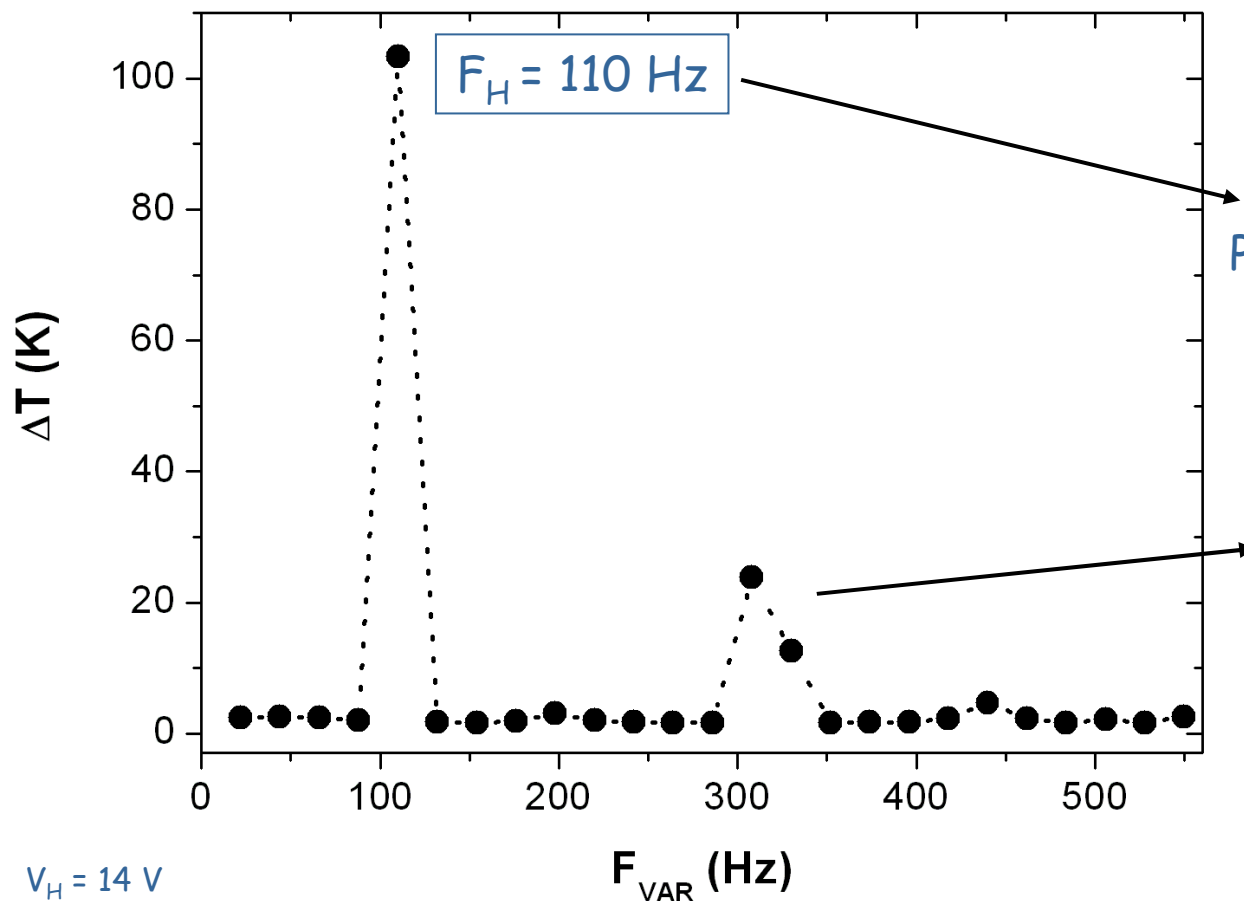
- Temperature resolution:
 $\Delta T=0.35$ K for acquisition time of ~15 sec
 $\Delta T=0.70$ K for acquisition time of < 5 sec
- Resolution = diffraction limit ($\lambda/(2*NA)$)



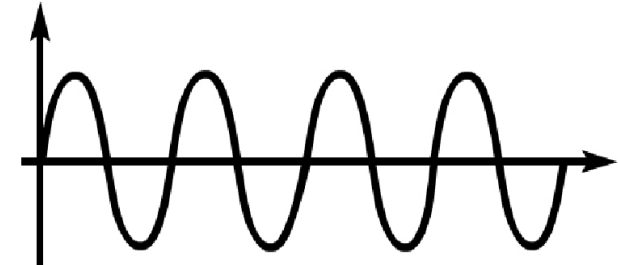
Thermal response of a sine wave excitation

$$3. \Delta f = \frac{1}{4} \cdot f_{CCD} + F_{VAR}$$

frequency-domain :

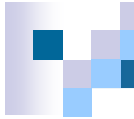


$$V(t) \text{Heater ON : } F_H = 110 \text{ Hz, sinus}$$



Peak at $F_{VAR} = 110$ Hz ($= F_H$)

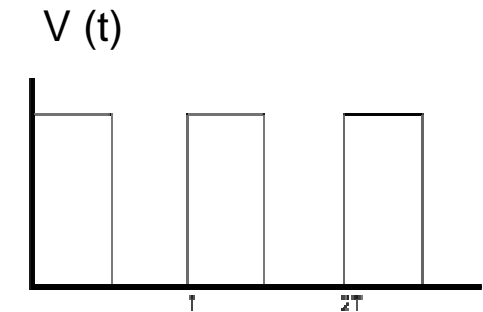
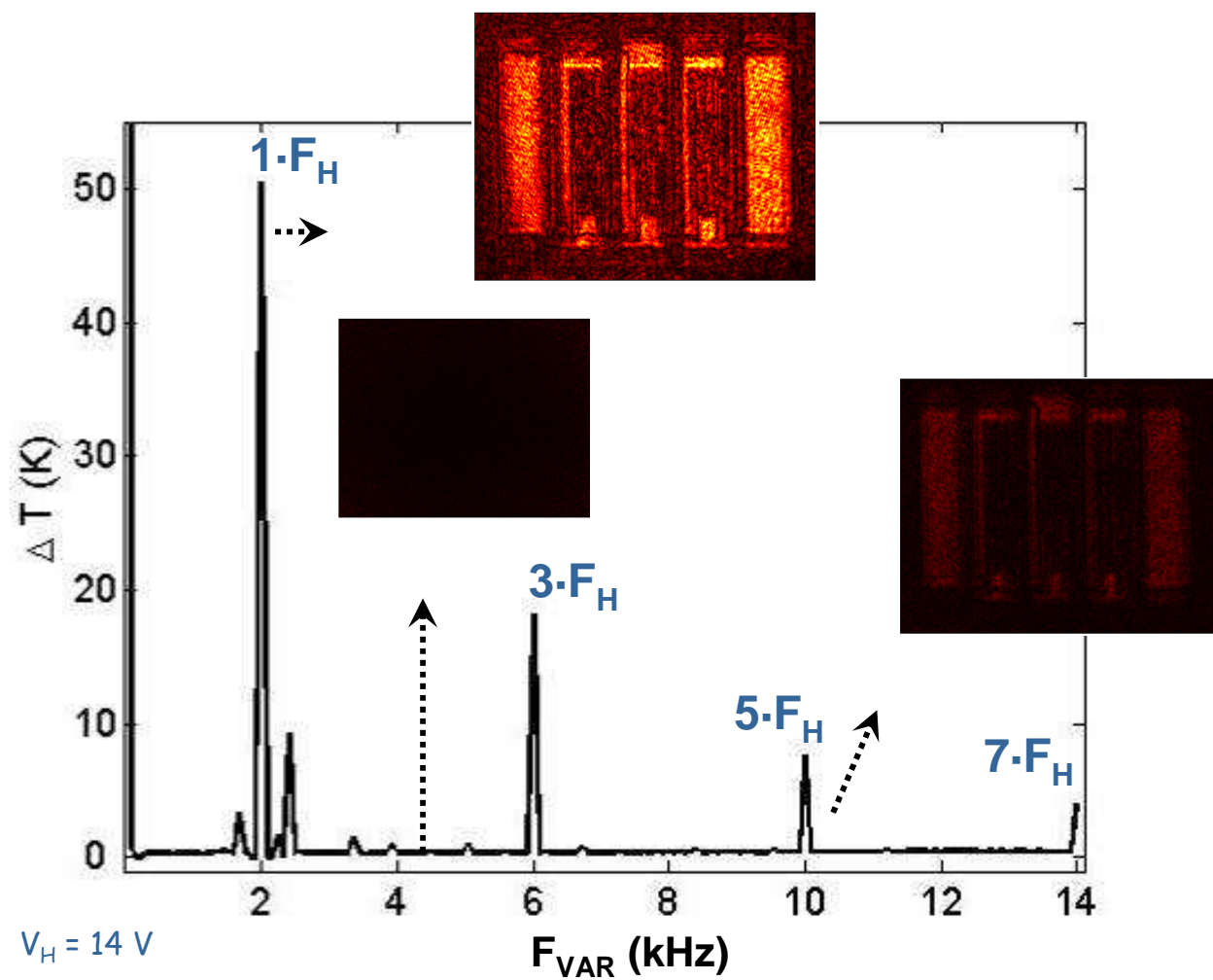
Peaks at $F_{VAR} > 110$ Hz
→ parasitic signals



Thermal square wave excitation

$$3. \Delta f = \frac{1}{4} \cdot f_{CCD} + F_{VAR}$$

Heater ON : $F_H = 2 \text{ kHz}$, square wave



→ Harmonics at

$$F_{VAR} = (2n-1) \cdot F_H$$